

通用物体检测



主讲人 张士峰

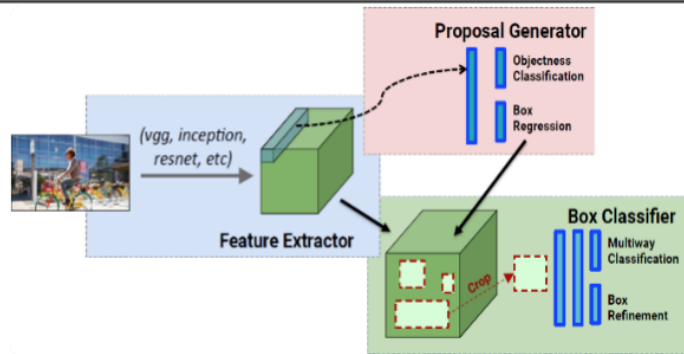
中国科学院自动化研究所
模式识别国家重点实验室



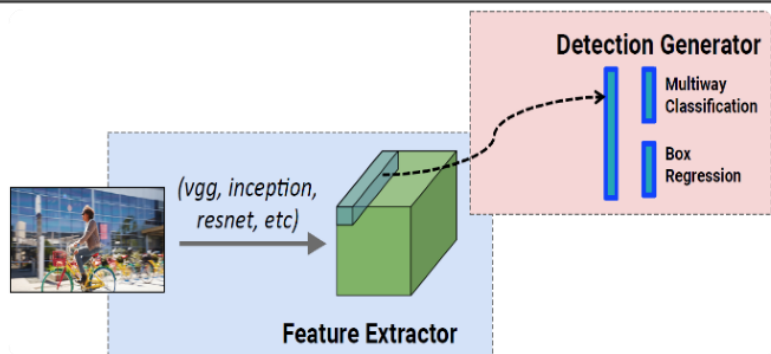


内容回顾：物体检测算法的总结

基于锚框

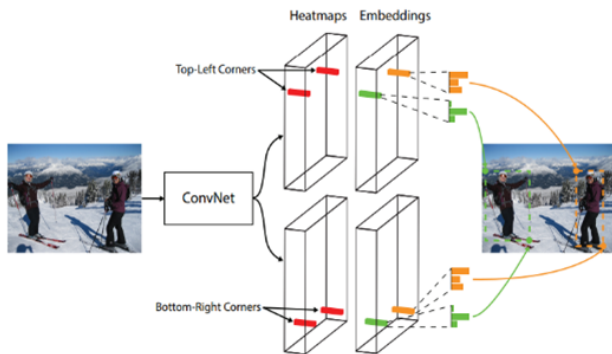


多阶段法

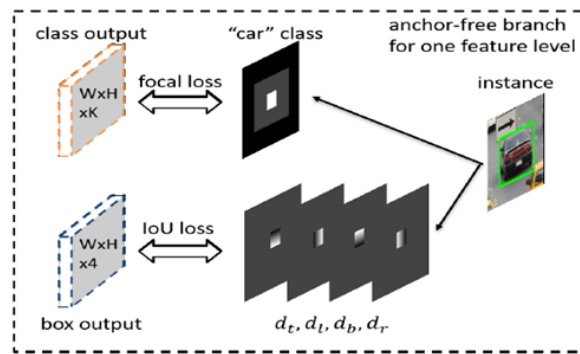


单阶段法

无需锚框



关键点法

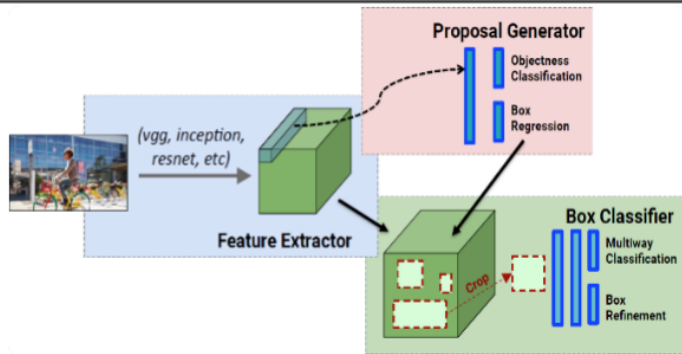


中心域法

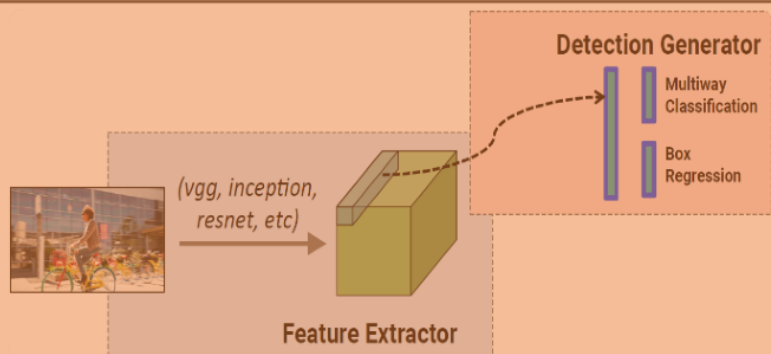


内容回顾：物体检测算法的总结

基于锚框

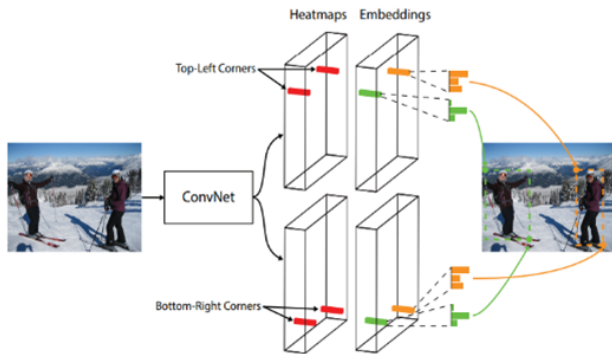


多阶段法

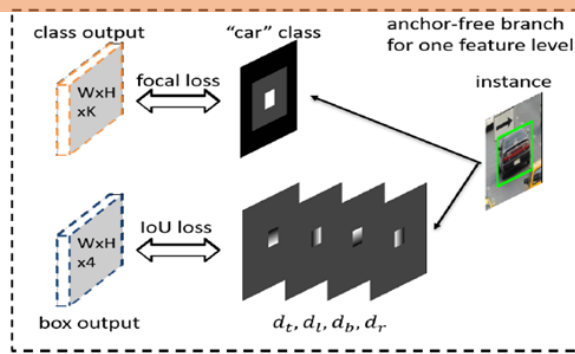


单阶段法

无需锚框



关键点法

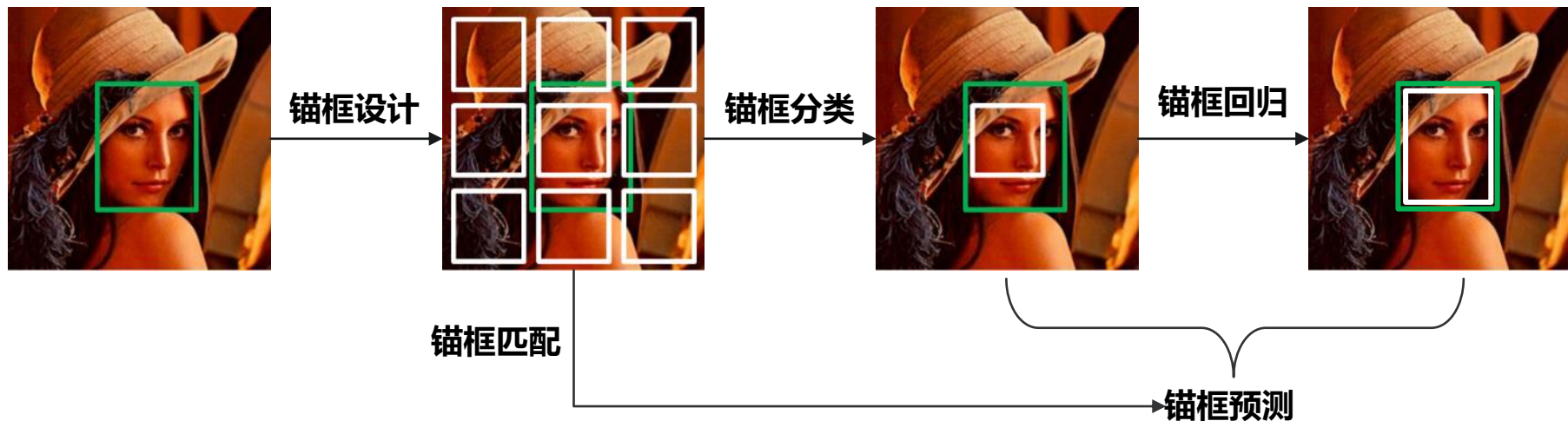


中心域法



内容回顾：物体检测算法的总结

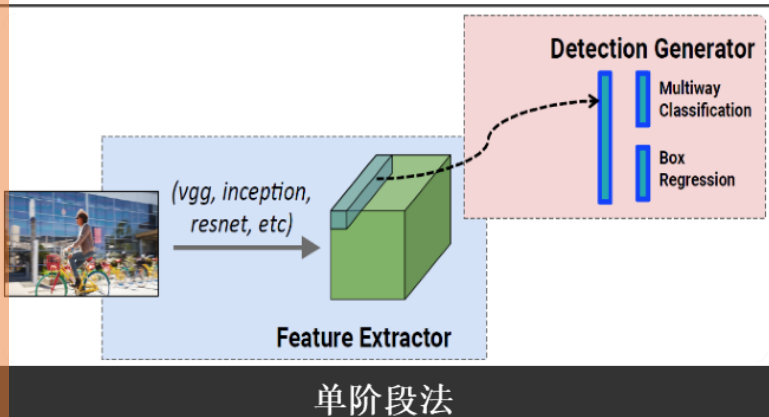
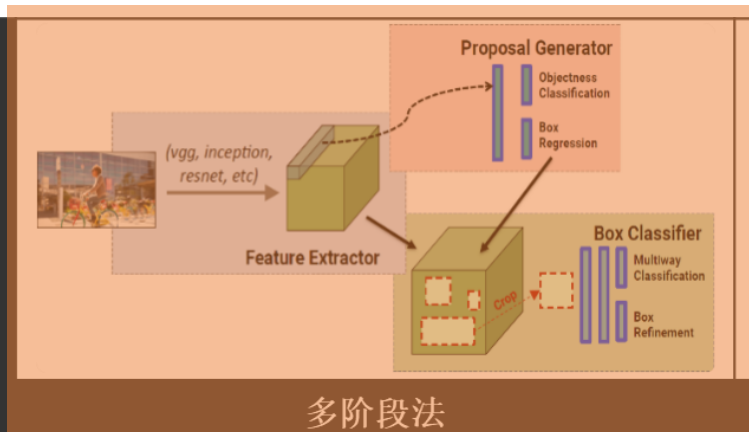
基于锚框的单阶段法 (SSD/RetinaNet)



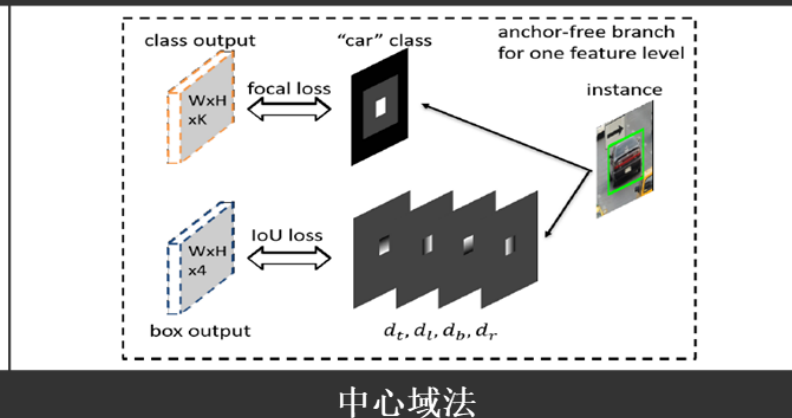
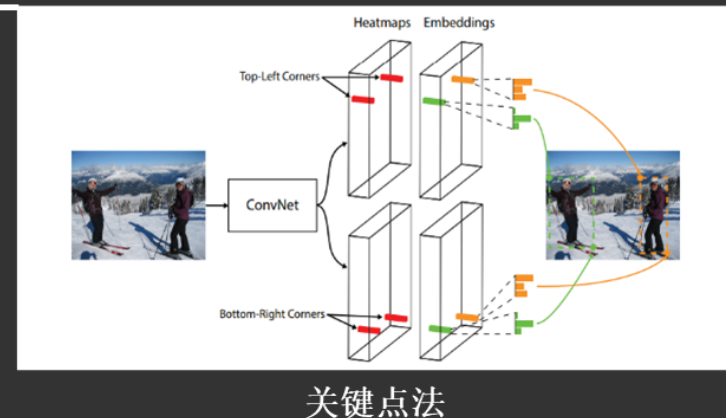


内容回顾：物体检测算法的总结

基于锚框



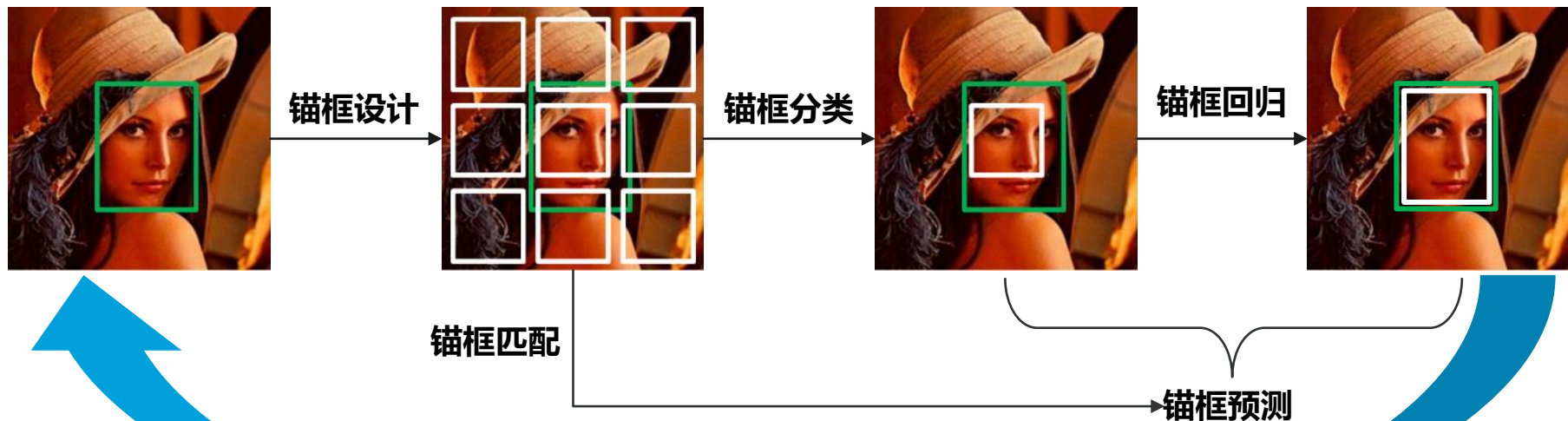
无需锚框





内容回顾：物体检测算法的总结

基于锚框的多阶段法 (Faster R-CNN)



级联地重复这个过程



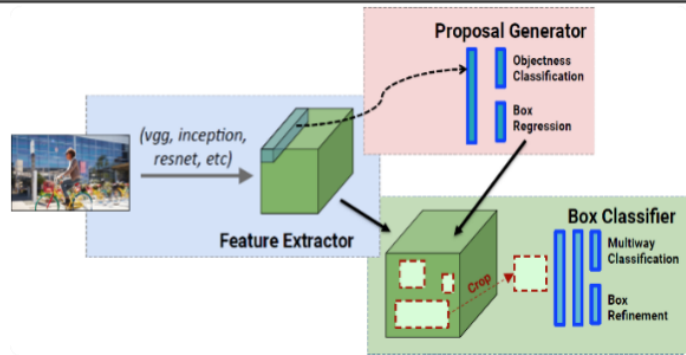
内容回顾：物体检测算法的总结（基于锚框）

基于锚框的检测算法		多阶段法	单阶段法
相同点	检测思想	铺设的锚框为检测起点，对锚框的类别和位置进行矫正	
	检测起点	铺设的锚框	
	检测结果	矫正的锚框	
不同点	难点问题之一	<u>小尺度物体</u> 人脸检测讲	正负样本的平衡
	锚框矫正次数	≥ 2 次	1次
	检测精度	较高	较低
	检测速度	较慢	较快

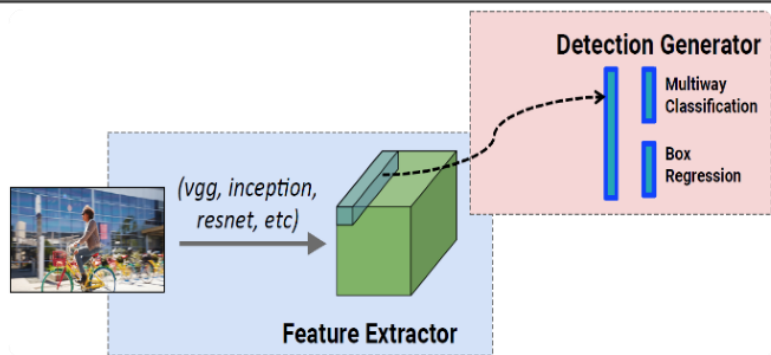


内容回顾：物体检测算法的总结

基于锚框

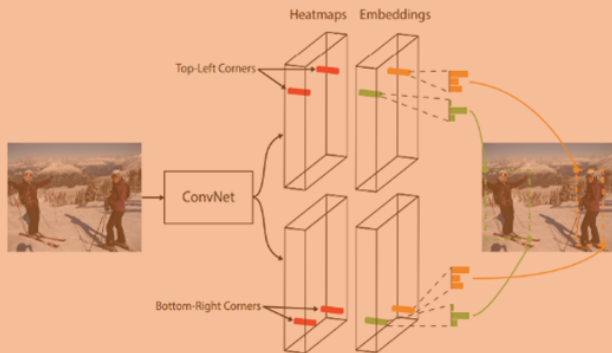


多阶段法

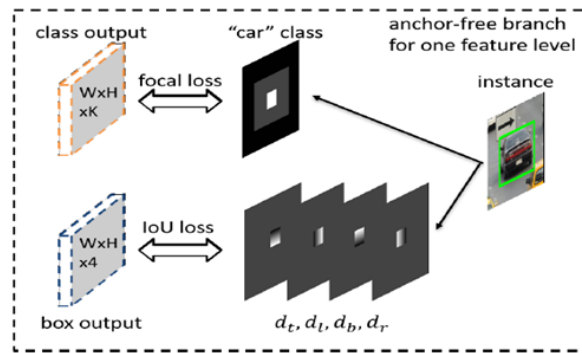


单阶段法

无需锚框



关键点法

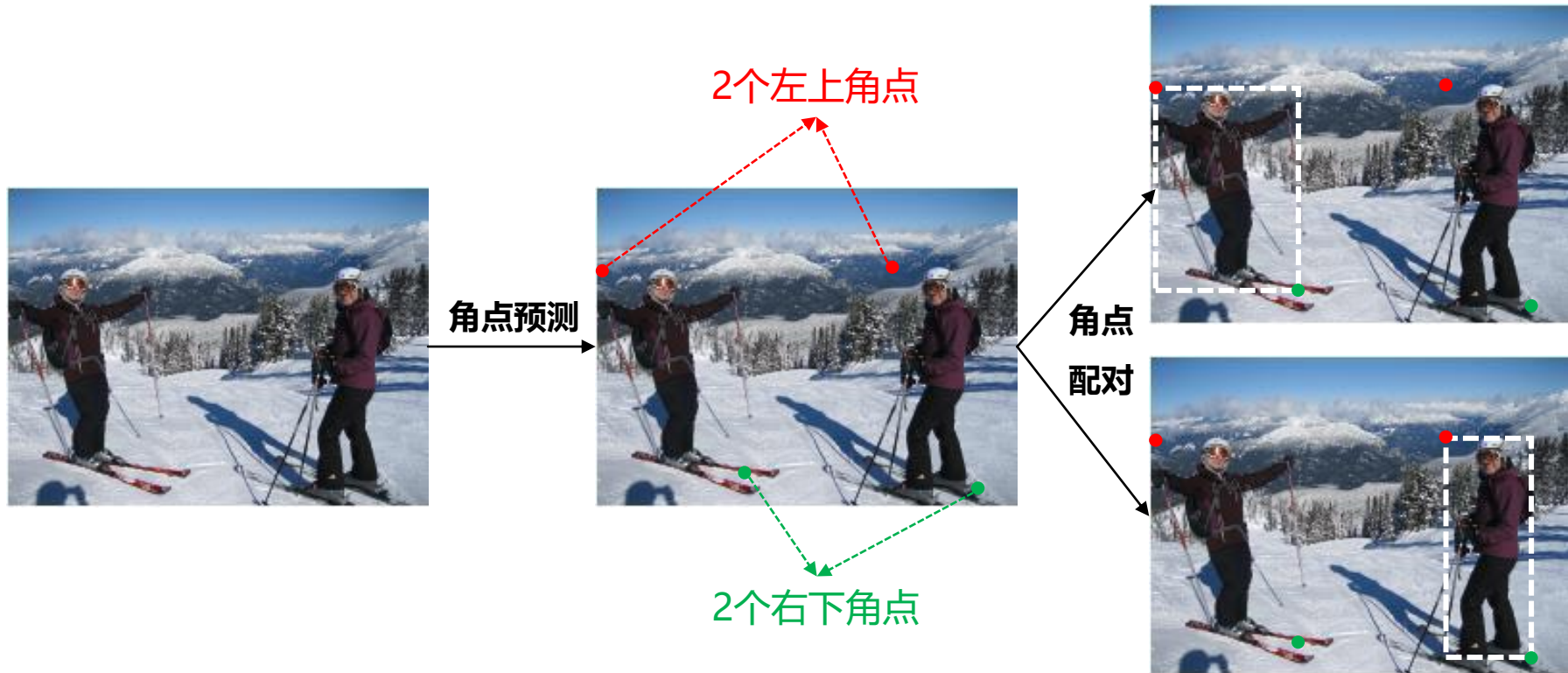


中心域法



内容回顾：物体检测算法的总结

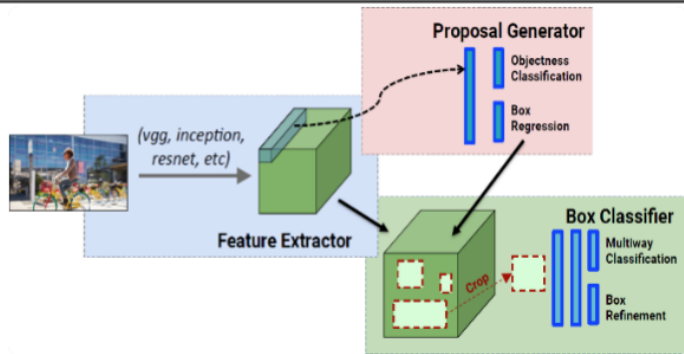
无需锚框的关键点法 (CornerNet)



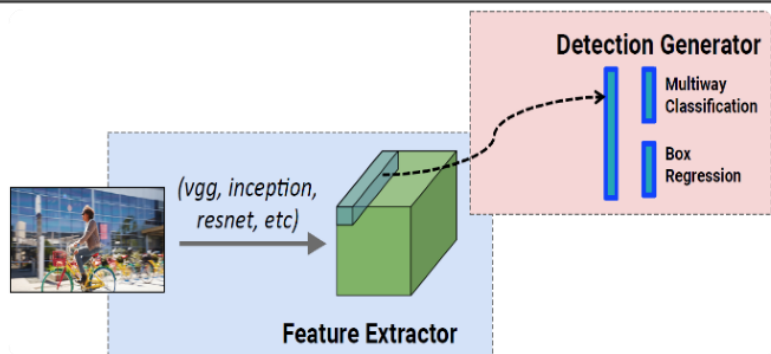


内容回顾：物体检测算法的总结

基于锚框

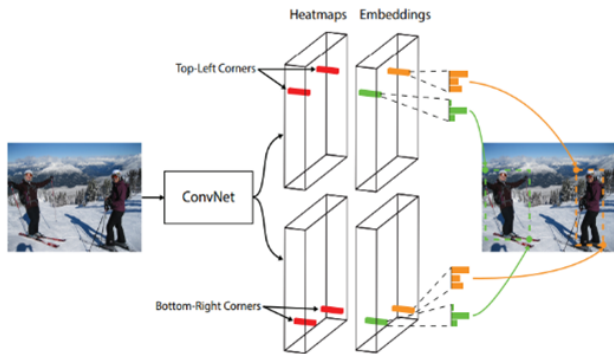


多阶段法

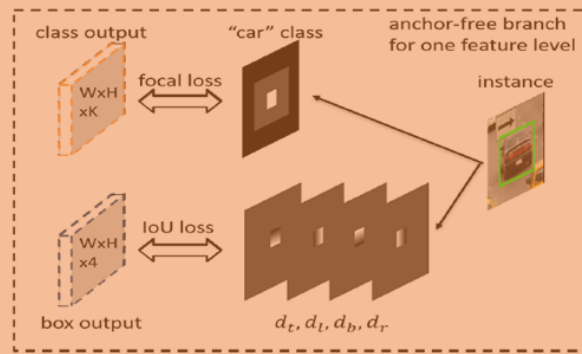


单阶段法

无需锚框



关键点法

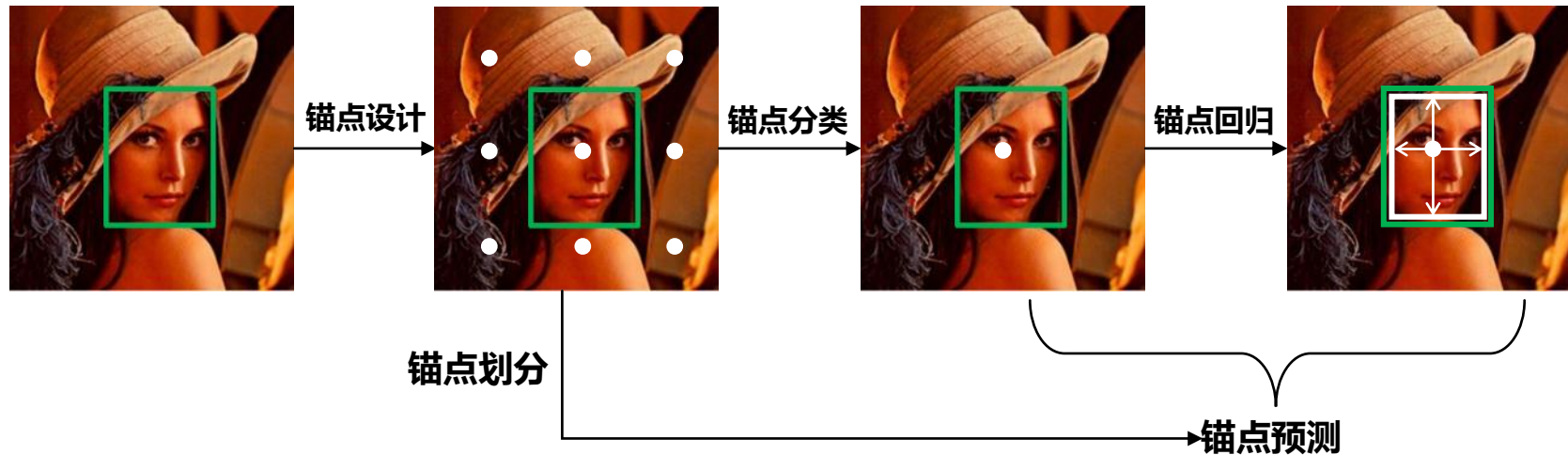


中心域法



内容回顾：物体检测算法的总结

无需锚框的中心域法（FCOS）





内容回顾：物体检测算法的总结（无需锚框）

无需锚框算法	关键点法	中心域法
算法动机	移除掉锚框，减少超参数，增加灵活性	
算法思想	先检测关键点，再进行配对来框定物体	铺设锚点替代锚框来检测物体
算法优点	全新的检测流程，为检测带来了新的思路	减少超参数，简化计算
算法难点	不同关键点之间的配对问题	正负样本的划分问题
计算速度	流程比较复杂，速度相对较慢	流程比较简单，速度相对较快
检测精度	精度能达到甚至超过基于锚框的单阶段法	



目录



物体检测环境配置



通用物体检测概述



基于锚框的检测算法



无需锚框的检测算法



物体检测算法的对比总结

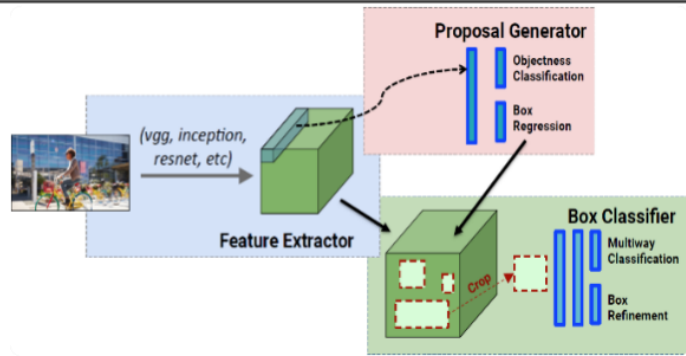


实用检测算法的研究思路

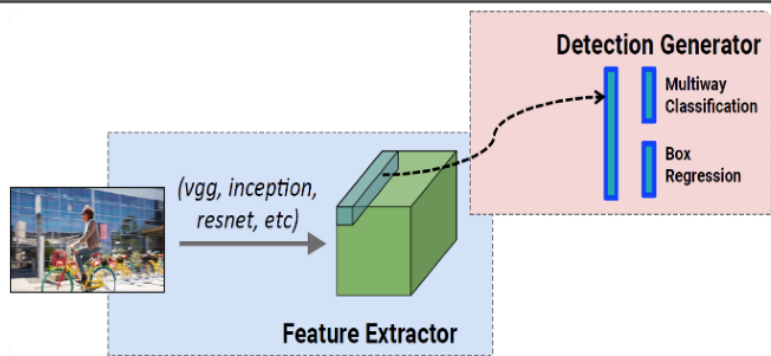


实用检测算法的研究思路：对比探索

基于锚框

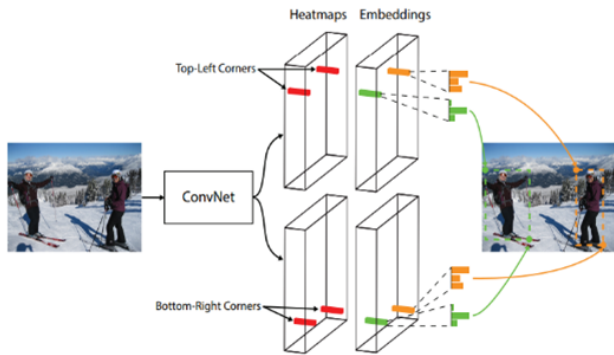


多阶段法

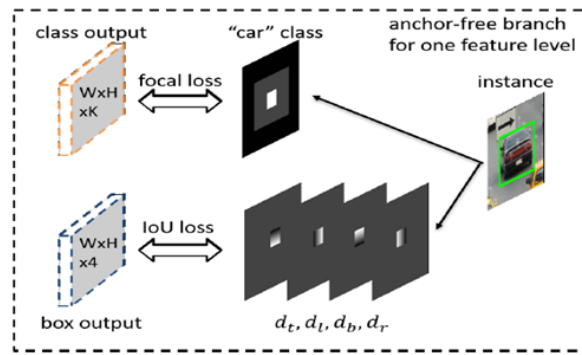


单阶段法

无需锚框



关键点法



中心域法

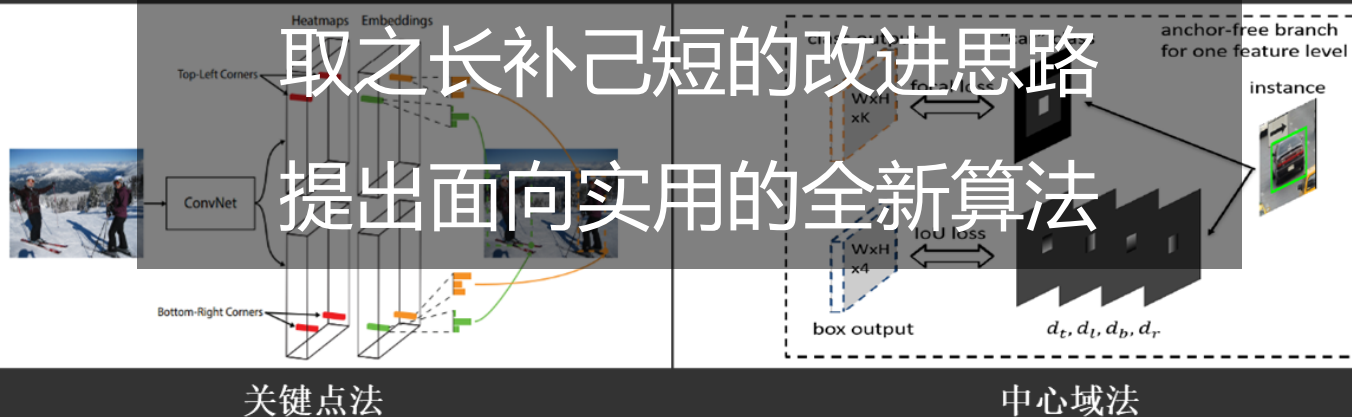


实用检测算法的研究思路：对比探索

基于锚框



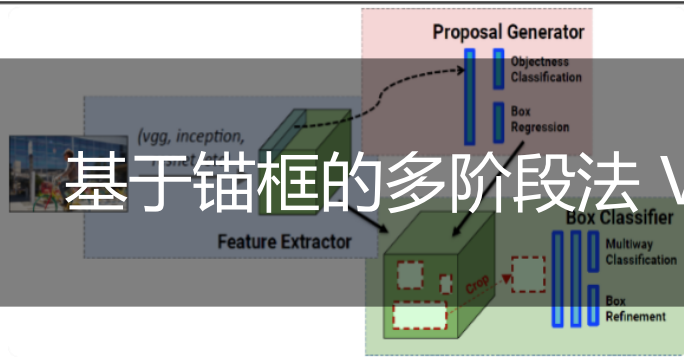
无需锚框



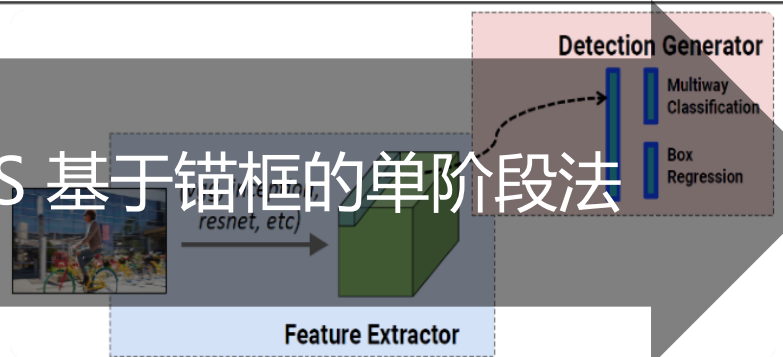


基于锚框的多阶段法 VS 单阶段法

基于锚框

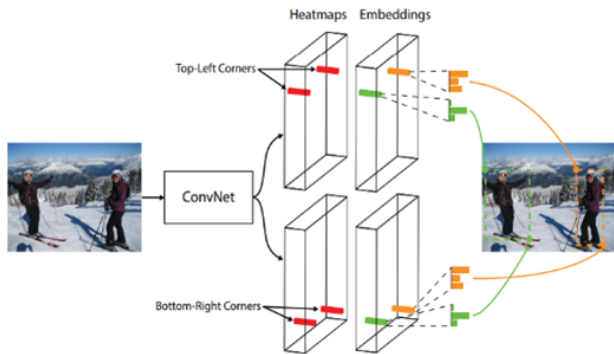


多阶段法

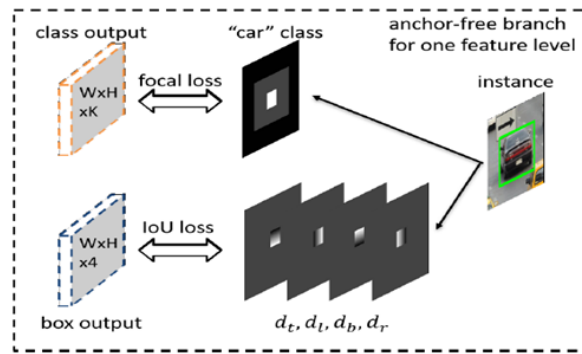


单阶段法

无需锚框



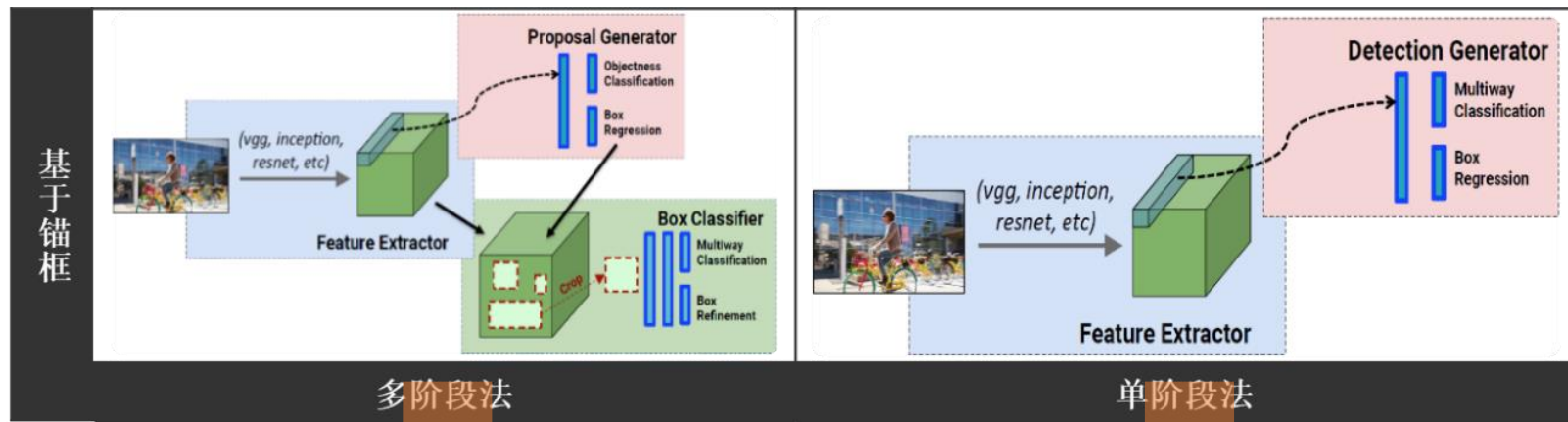
关键点法



中心域法



基于锚框的多阶段法 VS 单阶段法：本质区别



精度较高，但速度较慢

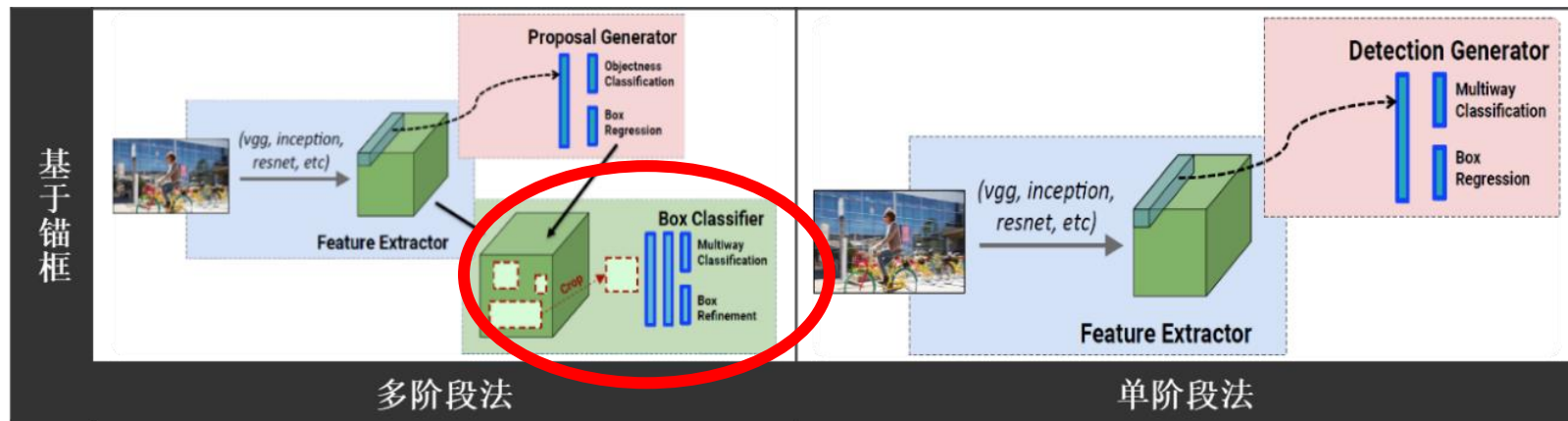
VS

速度较快，但精度较低

哪些区别带来的差异？



基于锚框的多阶段法 VS 单阶段法：本质区别

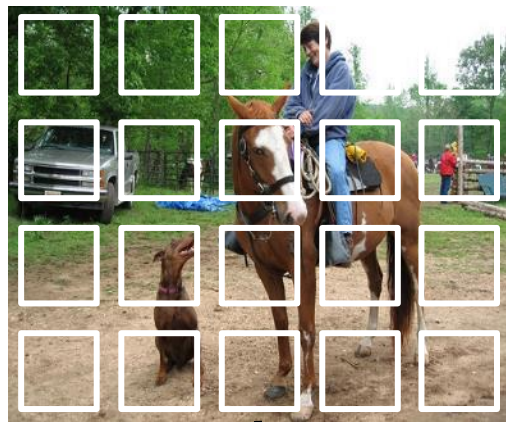


- 多阶段法与单阶段法的主要区别：多了一个额外的检测步骤
- 该步骤让多阶段法具备以下特点：① 二阶段的分类；② 二阶段的回归
- ③ 二阶段的特征；④ 特征的校准

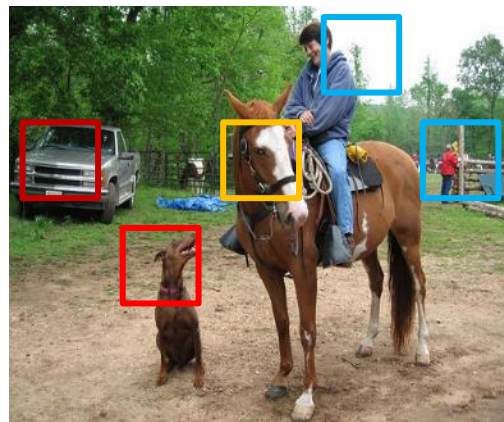
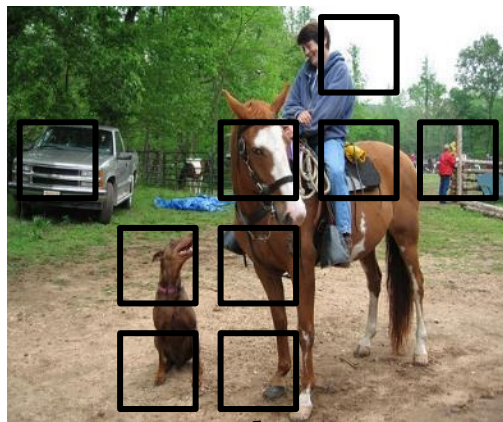


基于锚框的多阶段法 VS 单阶段法：二阶段分类

多阶段法的二阶段分类过程



第一阶段的二分类
(背景 or 前景)

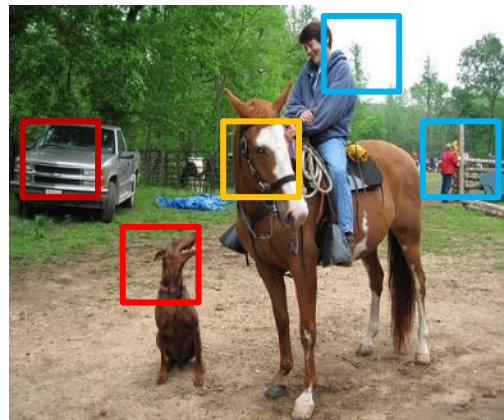
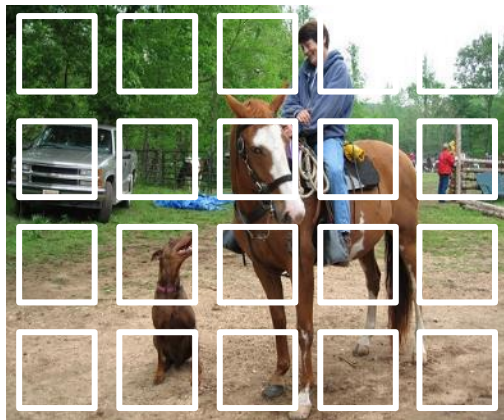


第二阶段的多分类
(具体类别)



基于锚框的多阶段法 VS 单阶段法：二阶段分类

单阶段法的一阶段分类过程

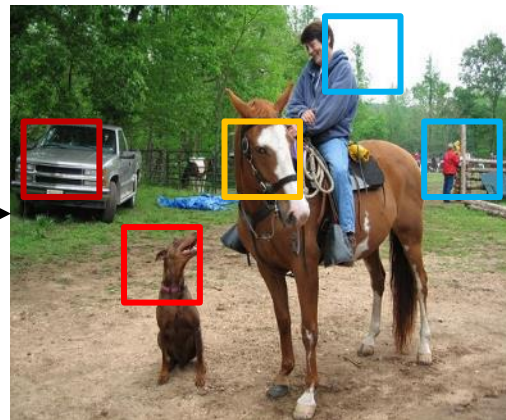
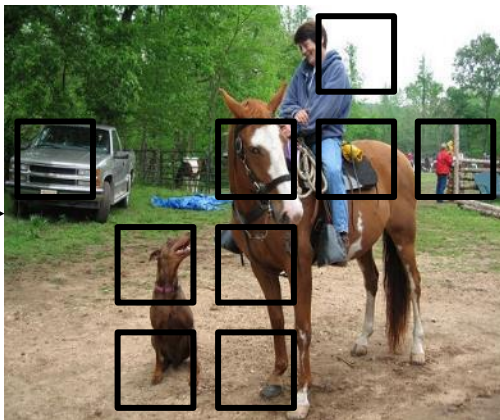
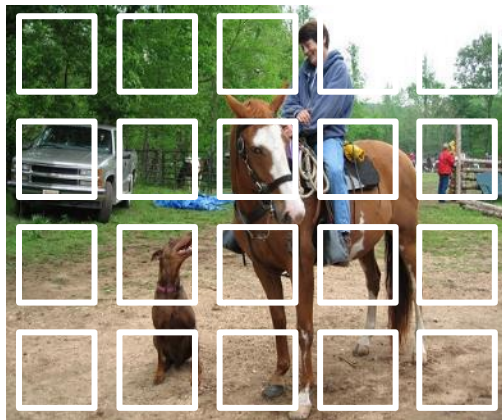


多分类
(具体类别)

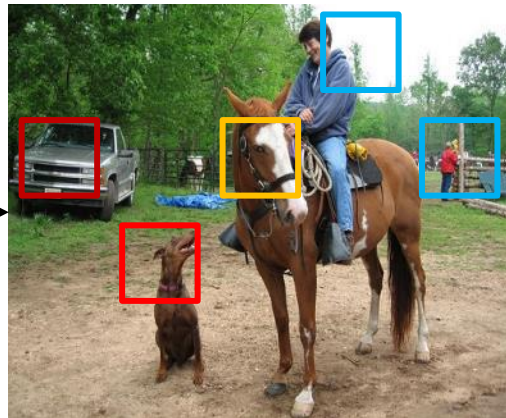
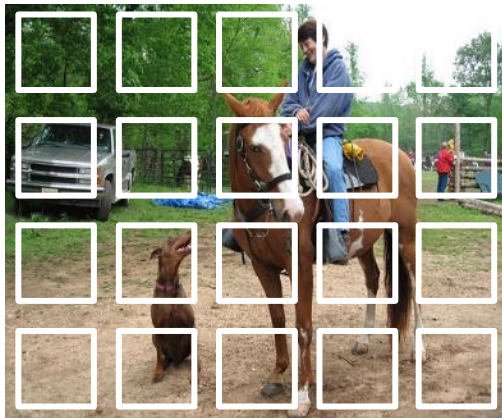


基于锚框的多阶段法 VS 单阶段法：二阶段分类

二
阶
段
分
类



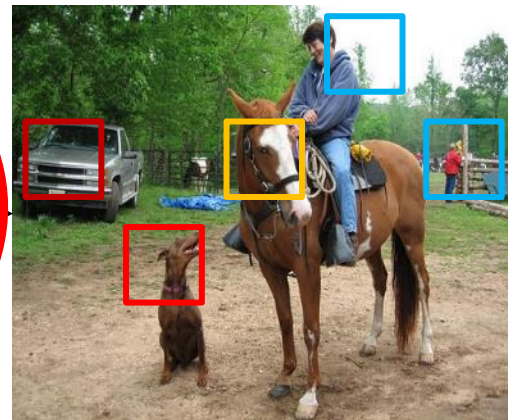
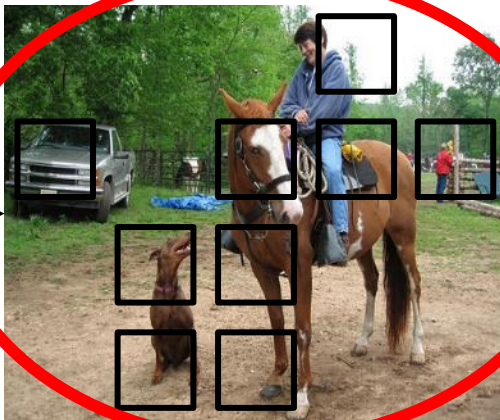
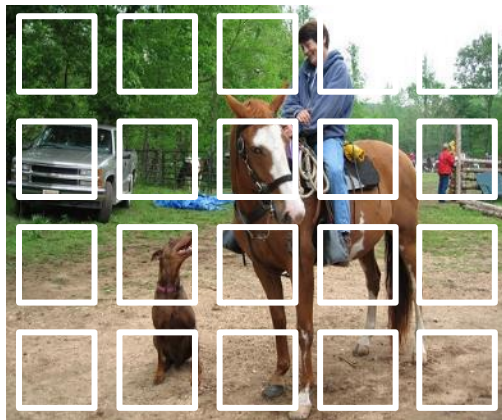
一
阶
段
分
类



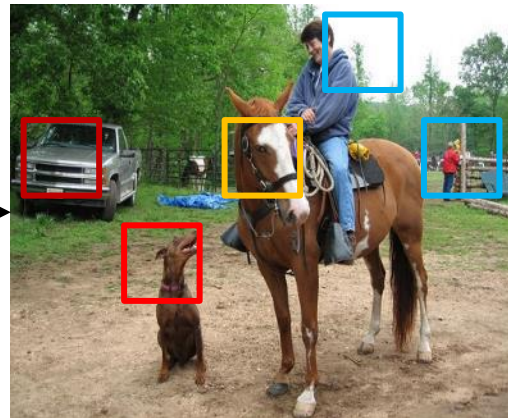
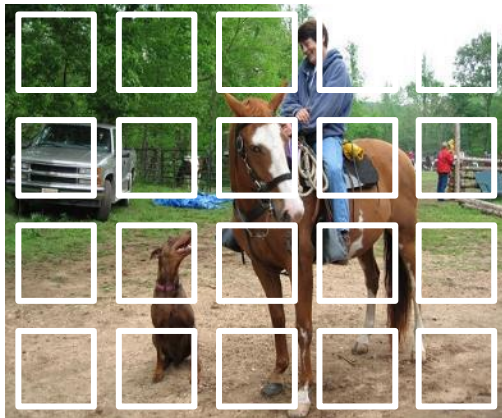


基于锚框的多阶段法 VS 单阶段法：二阶段分类

二
阶
段
分
类



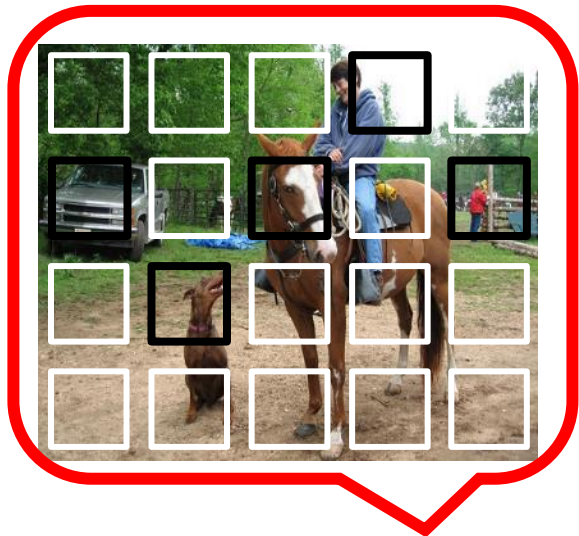
一
阶
段
分
类



作用？



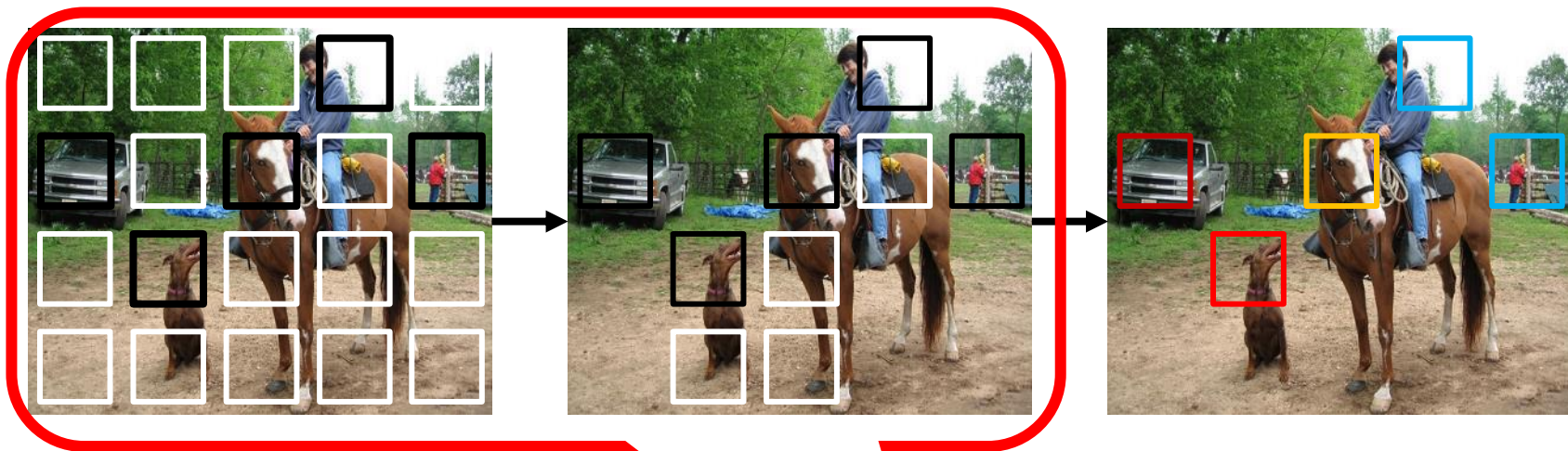
基于锚框的多阶段法 VS 单阶段法：二阶段分类



- 问题：正负样本极度失衡（图中黑色为正，白色为负，比例为5:15）
- 影响：负样本极多，难以训练，导致分类效果不佳
- 方案：二阶段分类可以缓解该问题



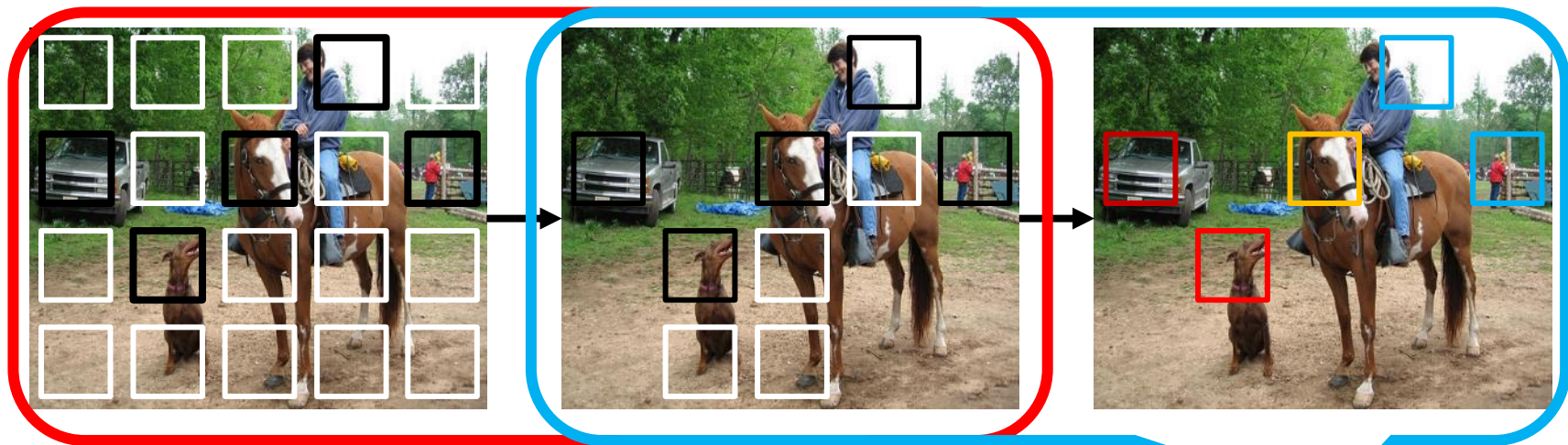
基于锚框的多阶段法 VS 单阶段法：二阶段分类



- 问题：正负样本极度失衡（图中黑色为正，白色为负，比例为5:15）
- 影响：负样本极多，难以训练，导致分类效果不佳
- 方案：二阶段分类可以缓解该问题

虽然正负样本比例为5:15
但只做简单的二分类任务

基于锚框的多阶段法 VS 单阶段法：二阶段分类



- 问题：正负样本极度失衡（图中黑色为正，白色为负，比例为5:15）

- 影响：负样本极多，难以训练，导致分类效果不佳

- 方案：二阶段分类可以缓解该问题

经过第一阶段二分类的过滤之后

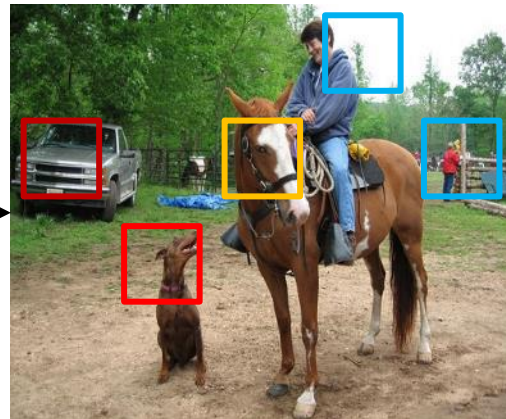
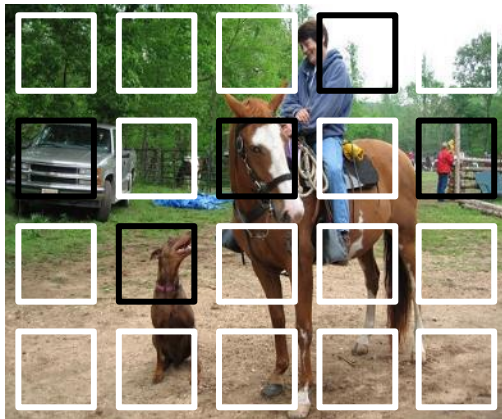
第二阶段多分类正负样本比例约1:1

虽然正负样本比例为5:15
但只做简单的二分类任务



基于锚框的多阶段法 VS 单阶段法：二阶段分类

一
阶
段
分
类



不仅正负样本比例为5:15
而且是复杂的多分类任务



基于锚框的多阶段法 VS 单阶段法：二阶段回归

多阶段法的二阶段回归过程



第一阶段
的初步回归矫正



第二阶段
的精准回归矫正



基于锚框的多阶段法 VS 单阶段法：二阶段回归

单阶段法的一阶段回归过程

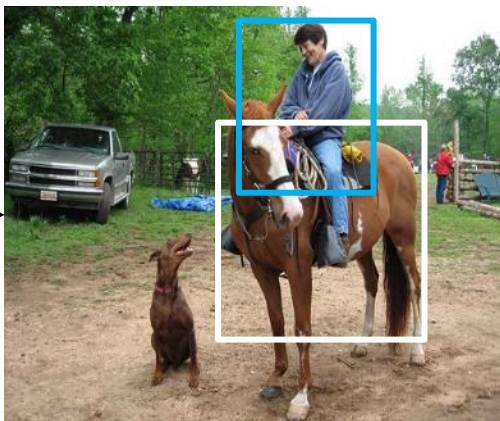


单阶段的回归矫正



基于锚框的多阶段法 VS 单阶段法：二阶段回归

二
阶
段
回
归



一
阶
段
分
类





基于锚框的多阶段法 VS 单阶段法：二阶段回归

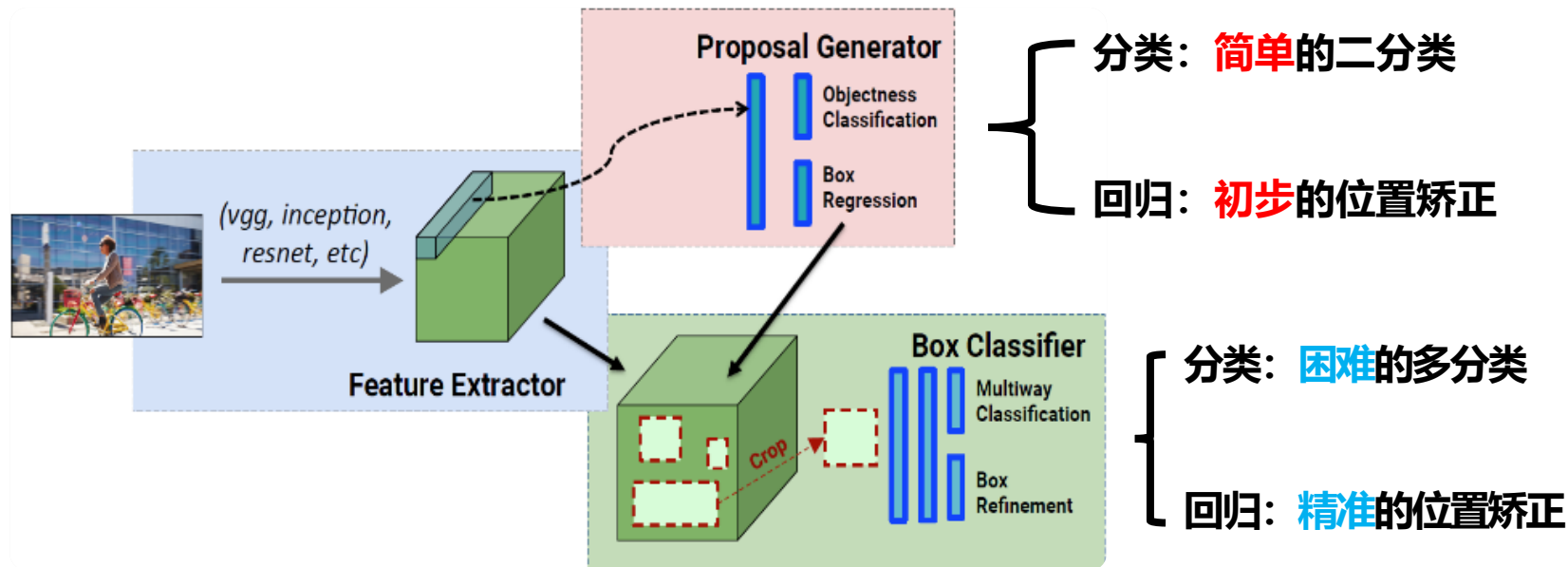
二阶段回归



- ①经过两个阶段的回归矫正，使得检测结果的位置更加精准
- ②经过第一阶段的回归矫正，可以为第二阶段提供更多的正样本



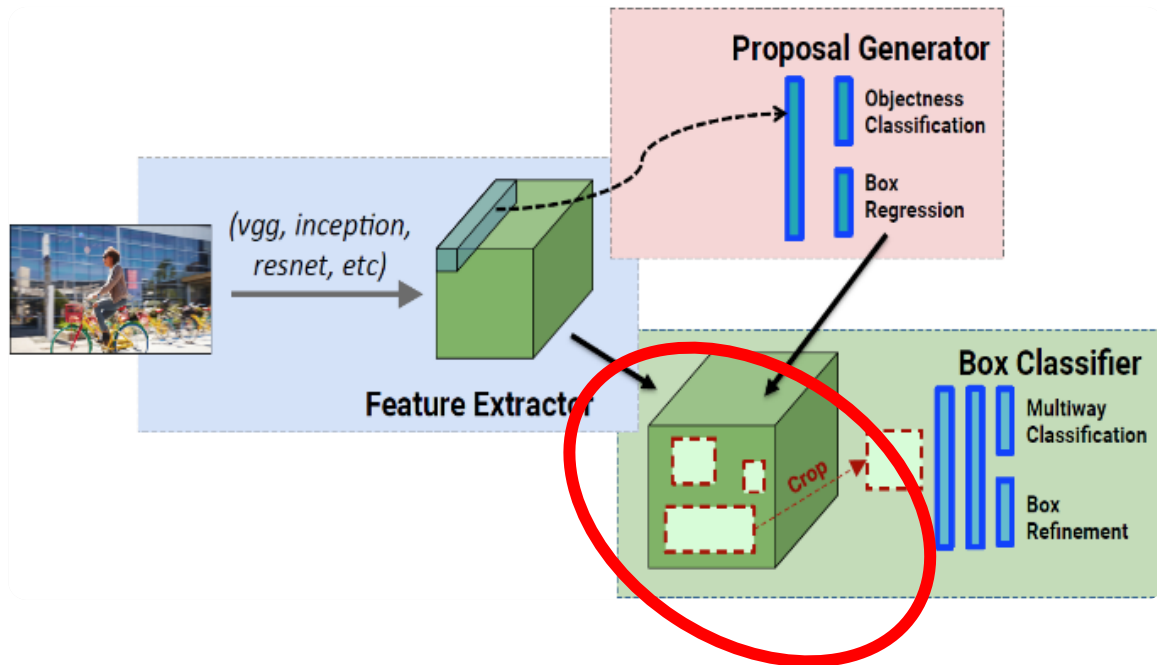
基于锚框的多阶段法 VS 单阶段法：二阶段特征



- 基础网络的特征是共享的
- 但两个阶段有着自己独有的特征来负责难度不同的任务



基于锚框的多阶段法 VS 单阶段法：特征的校准

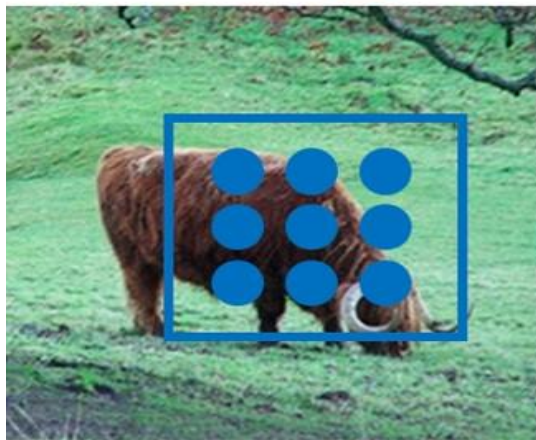


为什么
要做特征校准？

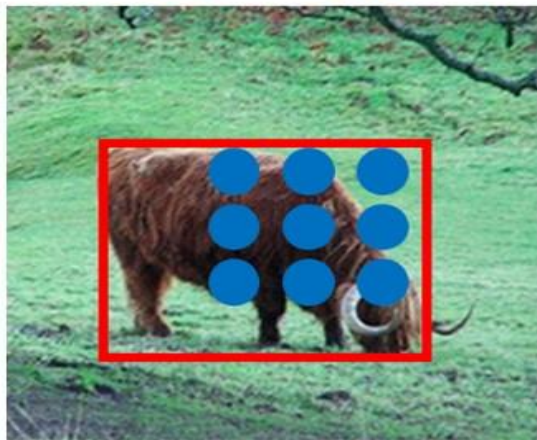
- 多阶段法会使用一个RoI池化的操作，根据矩形框把特征扣出来进行校准



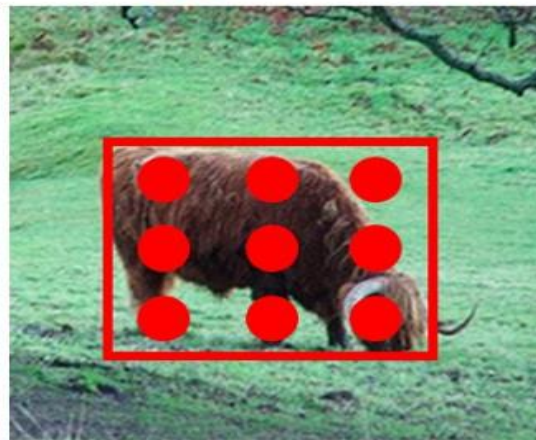
基于锚框的多阶段法 VS 单阶段法：特征的校准



(a)



(b)



(c)

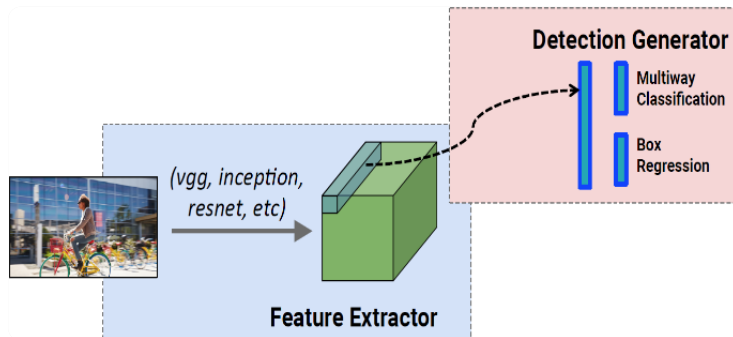
(a): 第一阶段中, 初始的锚框, 初始的特征; 图(b): 经过第一阶段校正后的锚框, 初始的特征; (c): 经过第一阶段校正后的锚框, 经过RoI池化校准后的特征

- 锚框回归后位置发生改变, 因此特征应根据锚框进行校准, 提高准确度
- 调整特征大小, 使其一致易于批处理



基于锚框的多阶段法 VS 单阶段法：总结

单
阶
段
法



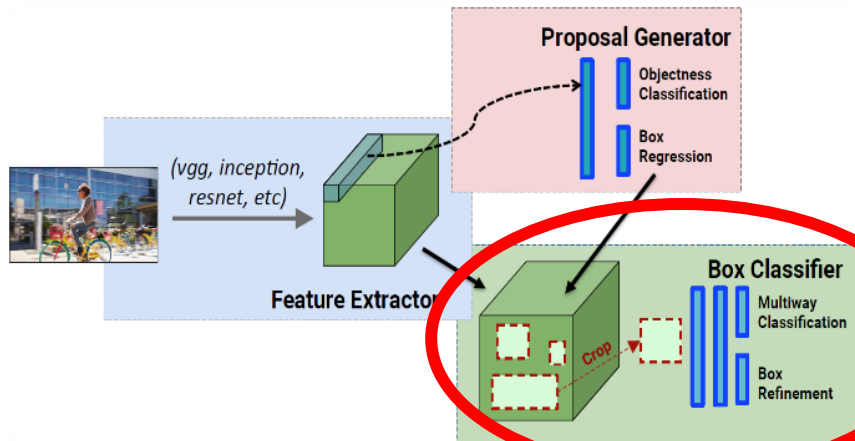
精度提高，但速度也变慢



① 二阶段的分类；② 二阶段的回归

③ 二阶段的特征；④ 特征的校准

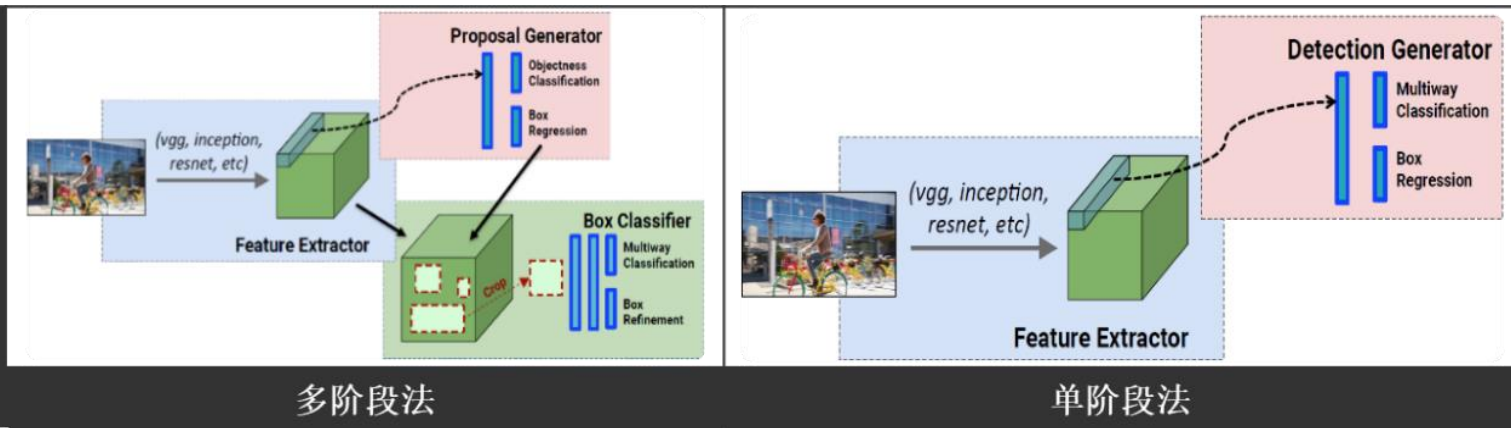
多
阶
段
法





实用物体检测算法RefineDet

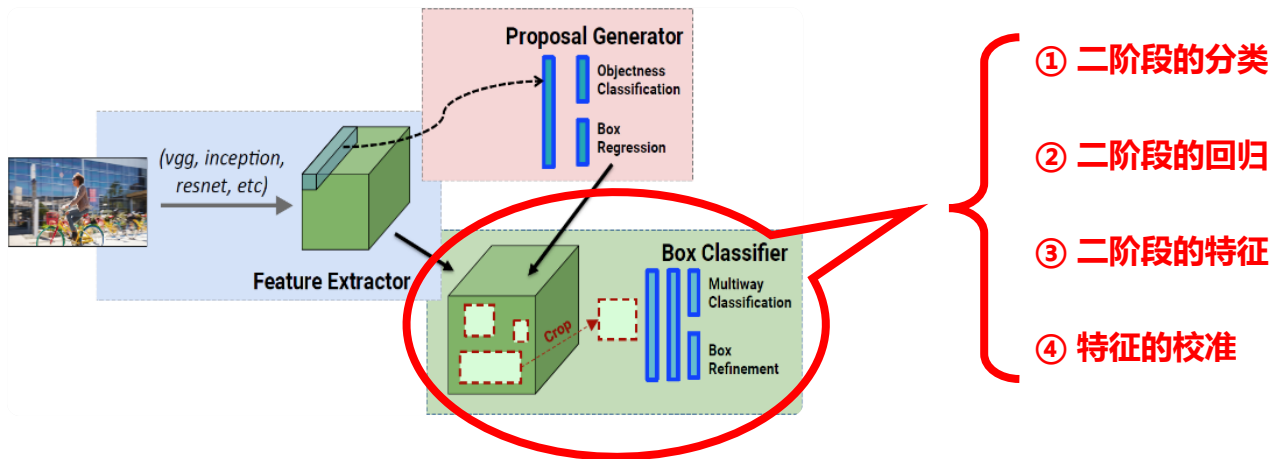
基于锚框



- 多阶段法：精度较高，速度较慢
- 单阶段法：精度较低，速度较快
- 找到两者的本质区别，取之长补己短的改进思路
- 提出RefineDet算法：单阶段法的速度+多阶段法的精度



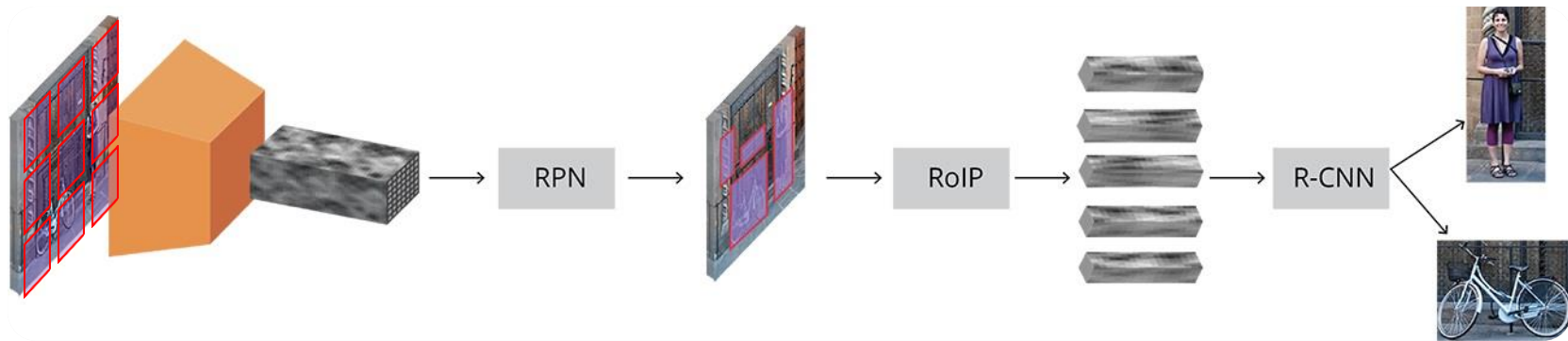
实用物体检测算法RefineDet: 改进思路



- 多阶段法精度较高的原因：第二阶段带来的4个方面改进，让精度得以提升
- 多阶段法速度较慢的原因：4个改进中有些改进比较耗时，导致速度变慢
- 前3个改进可以在单阶段法中高效实现：二阶段分类、回归、特征（高性价比）
- 最后1个改进，需要逐区域进行，导致速度变慢，且提升有限（低性价比）



实用物体检测算法RefineDet: 特征校准RoI池化



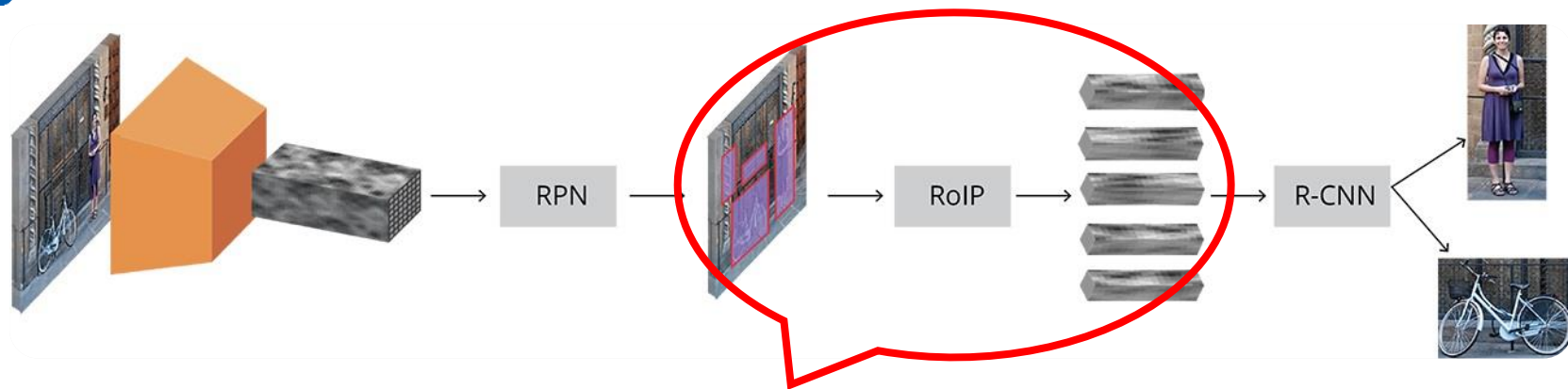
Faster R-CNN中RPN步骤:

- ① 整张图传入VGG16或ResNet提取特征
- ② 选择下采样倍数为16的特征层作为检测层
- ③ 根据检测层预设一系列大小和比例的锚框 (9个)
- ④ 对锚框进行二分类和回归得到若干候选区域

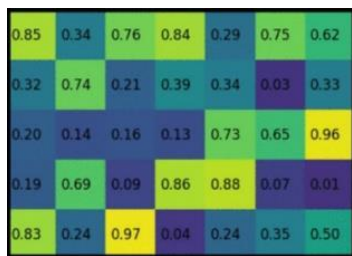
Faster R-CNN中Fast R-CNN步骤:

- ① 利用RoIPooling在检测层的特征上提取每个候选区域对应的特征
- ② 输入CNN/FC子网络来增强候选区域的特征
- ③ 对候选区域进行多分类和回归得到检测结果

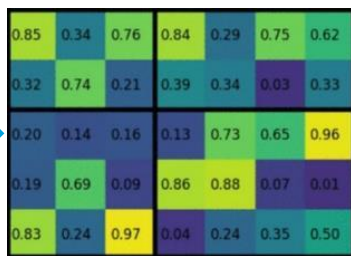
实用物体检测算法RefineDet: 特征校准RoI池化



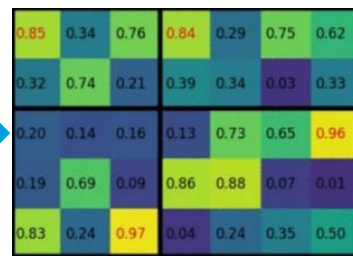
利用RoIPooling在检测层的特征上提取每个候选区域对应的特征，并转换为大小一致的特征



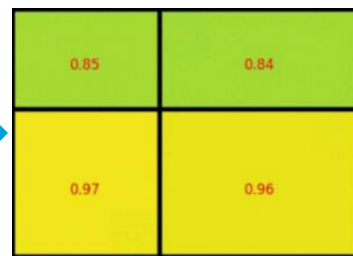
映射并取整



分块并取整

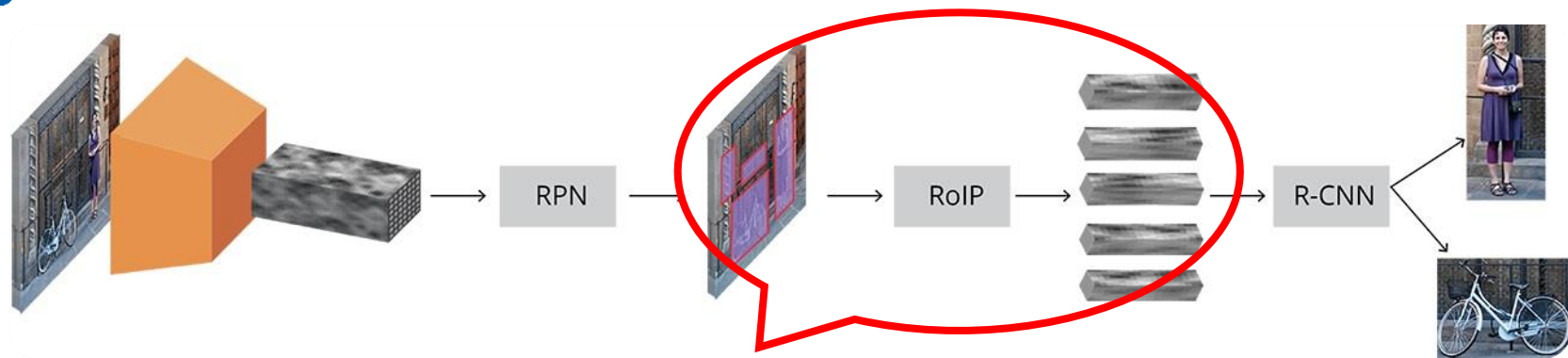


选取最大值

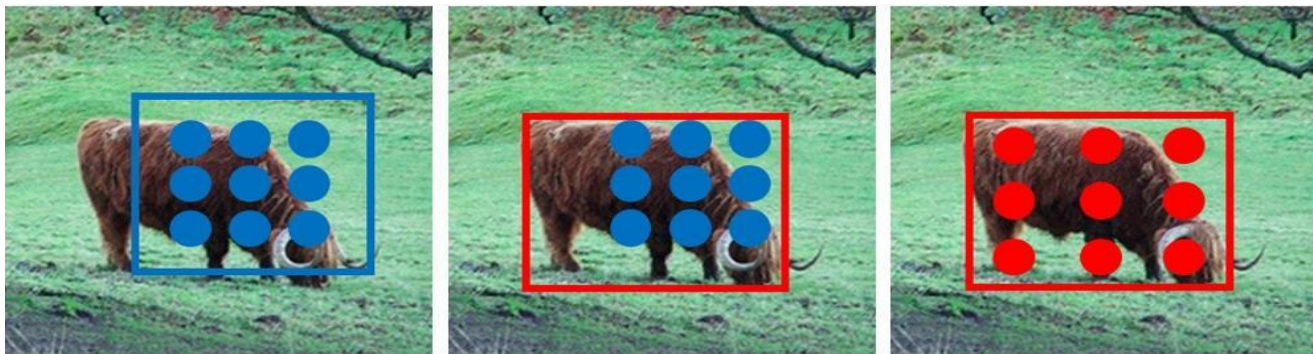


转换为2x2特征

实用物体检测算法RefineDet: 特征校准RoI池化

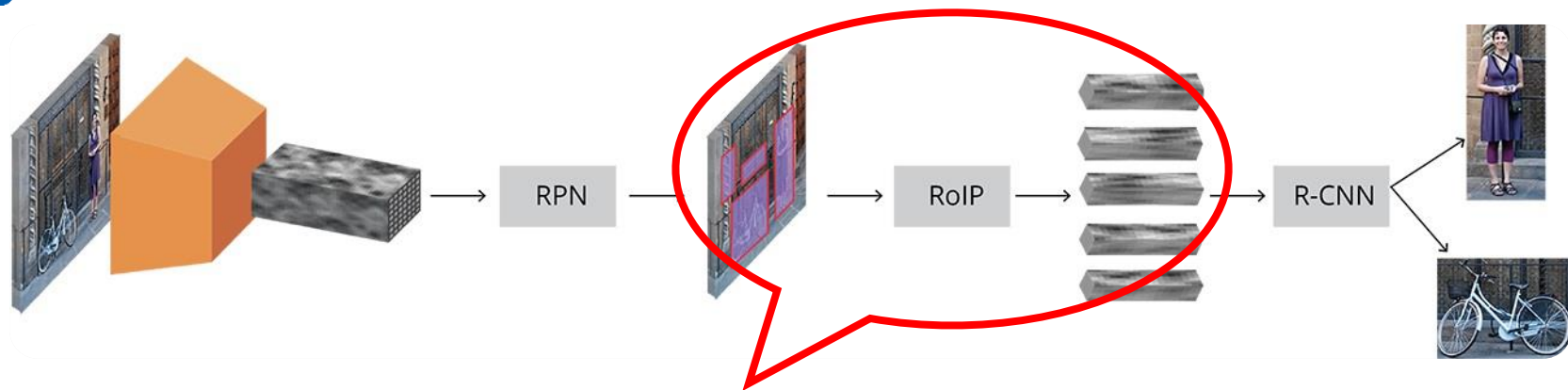


- 目的①：特征大小一致后，不同候选区域可以组成一个批次，从而进行批处理
- 目的②：进过第一阶段的校准，锚框的位置发生了变化，因此需要进行特征校准





实用物体检测算法RefineDet: 特征校准RoI池化

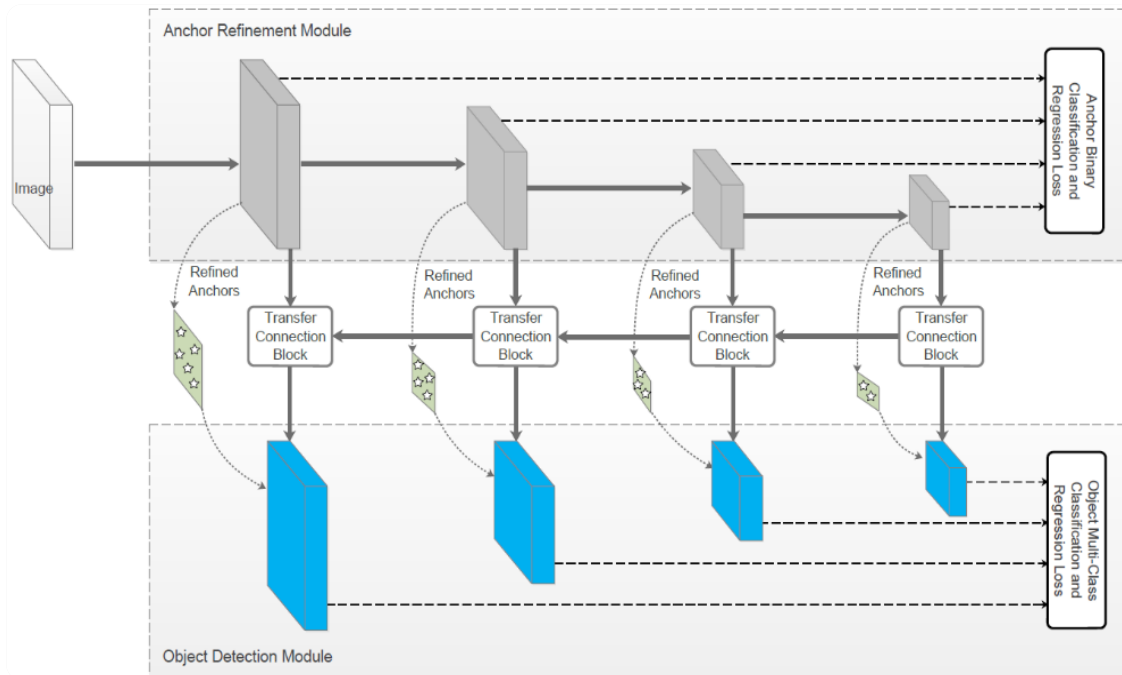


- 每个候选区域的大小不一样，位置不一样
- 每个候选区域需要单独处理，不能并行加速
- RoI池化以及其改进版，涉及到取整或插值等操作
- 因此，特征校准的RoI池化比较慢，尤其是候选区域较多时



实用物体检测算法RefineDet：整体框架

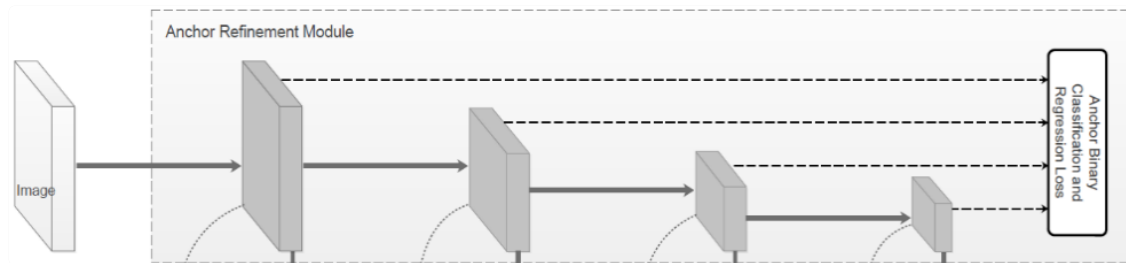
- 在单阶段法中，集成多阶段法中高性价比的改进，抛弃低性价比的改进
- 从而在保持单阶段法的速度的同时，获得多阶段法的精度



- 锚框校准模块 (ARM)
 - 过滤负样本
 - 初步的边框校正
- 传输连接模块 (TCB)
 - 转换ARM特征
 - 融合高层特征
- 物体检测模块 (ODM)
 - 更好的特征
 - 精细的分类和回归

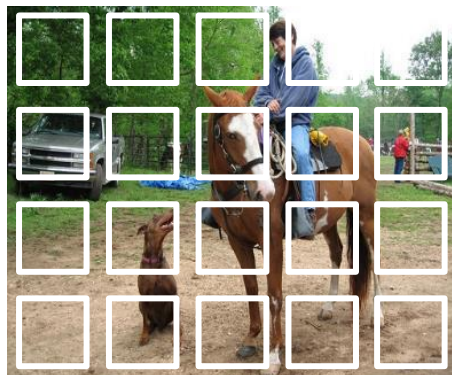


实用物体检测算法RefineDet：锚框校准模块

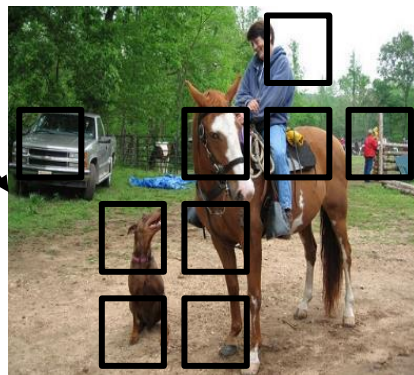


➤ 锚框校准模块 (ARM)

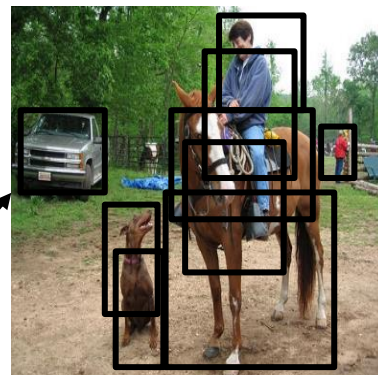
- 过滤负样本
- 初步的边框校正



二分类

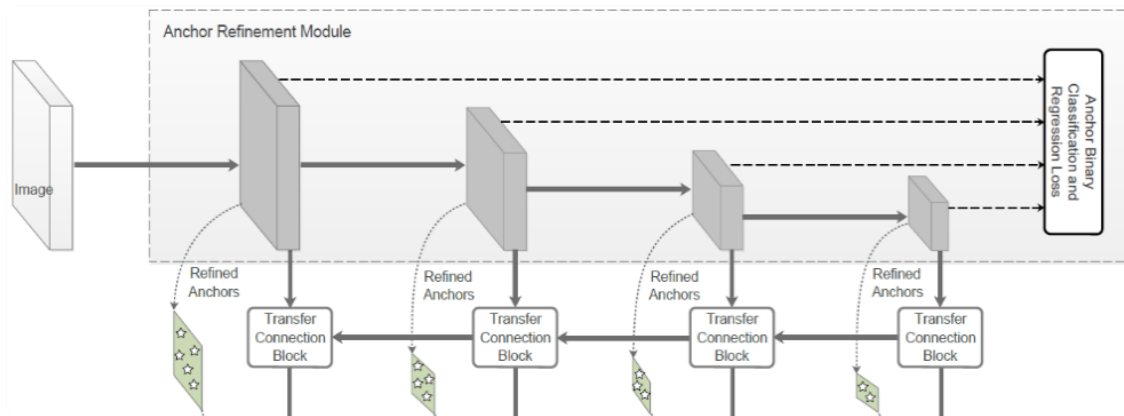


回归





实用物体检测算法RefineDet：传输连接模块

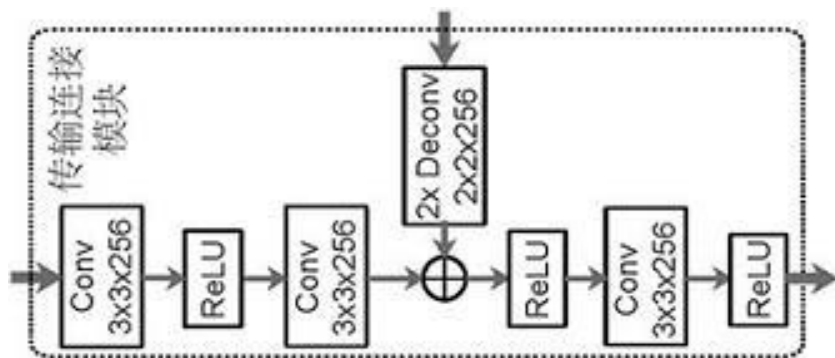


➤ 锚框校准模块 (ARM)

- 过滤负样本
- 初步的边框校正

➤ 传输连接模块 (TCB)

- 转换ARM特征
- 融合高层特征



■ 传输连接模块≈FPN

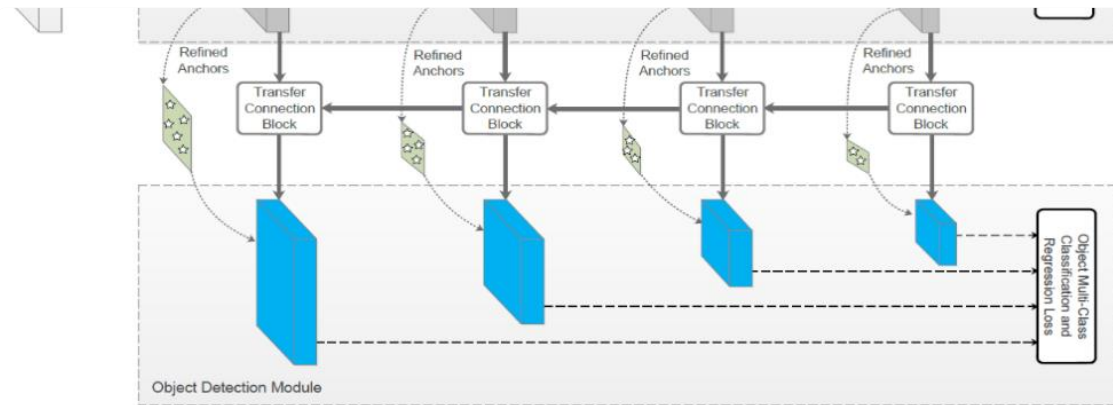
■ 当时FPN没有公布代码

■ 实现的TCB有些细节不一样

■ 使用ReLU, DeConv等



实用物体检测算法RefineDet: 物体检测模块

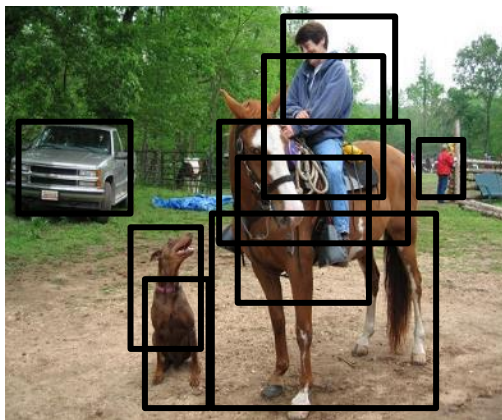


➤ 传输连接模块 (TCB)

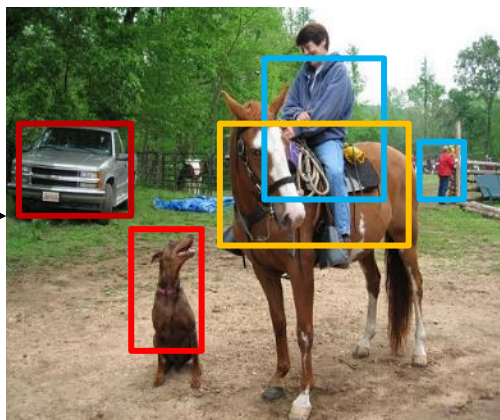
- 转换ARM特征
- 融合高层特征

➤ 物体检测模块 (ODM)

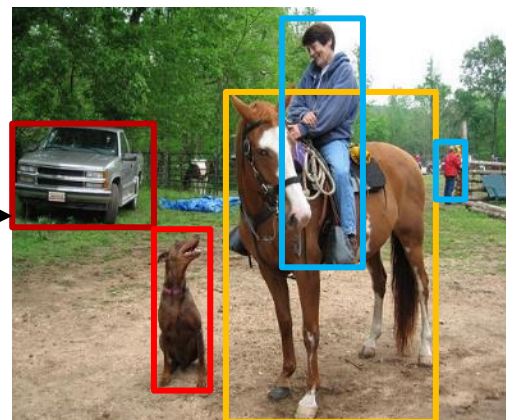
- 更好的特征
- 精细的分类和回归



分类

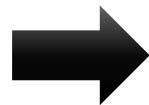
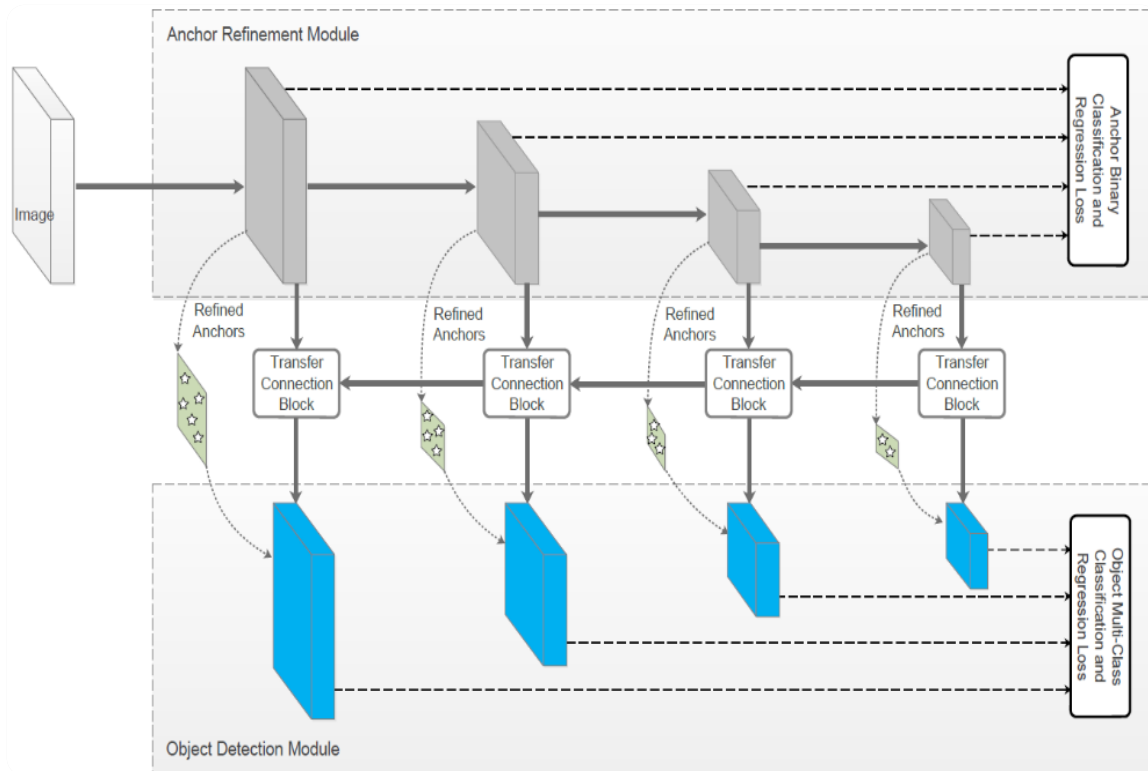


回归

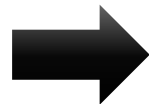




实用物体检测算法RefineDet: 二阶段分类



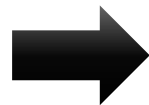
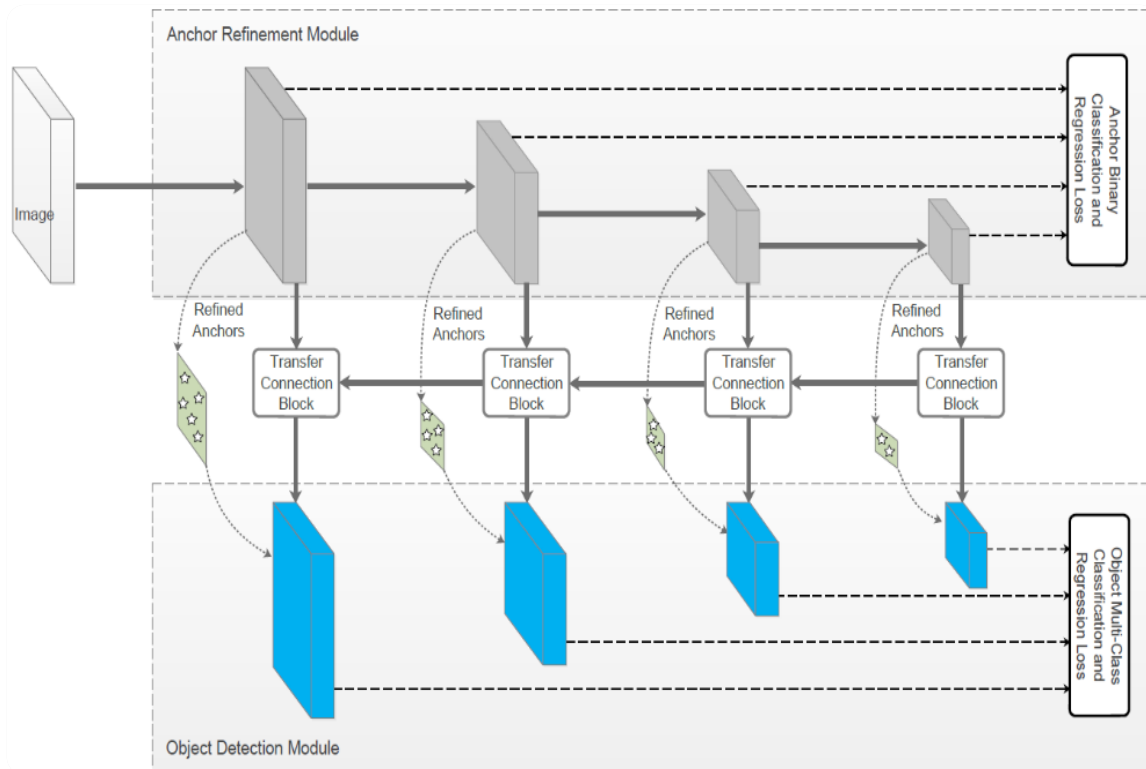
第一阶段分类
(二分类)



第二阶段分类
(多分类)



实用物体检测算法RefineDet: 二阶段回归



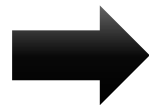
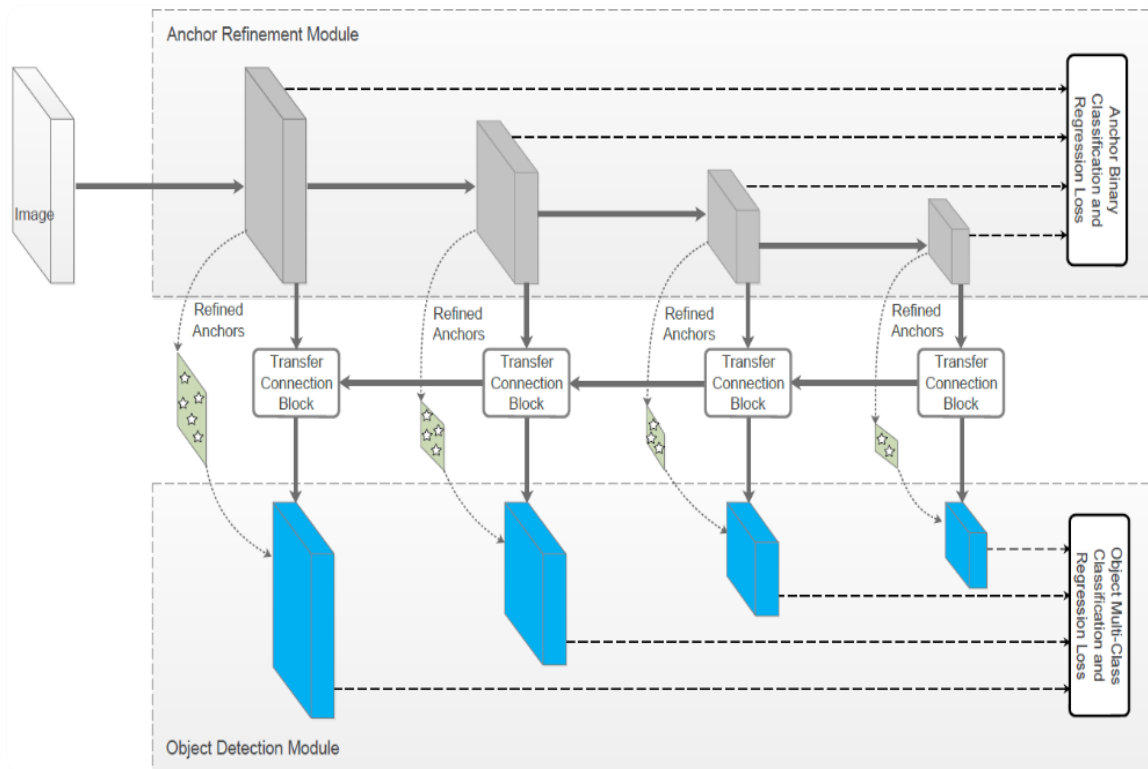
第一阶段回归
(初始矫正)



第二阶段回归
(精准矫正)



实用物体检测算法RefineDet: 二阶段特征



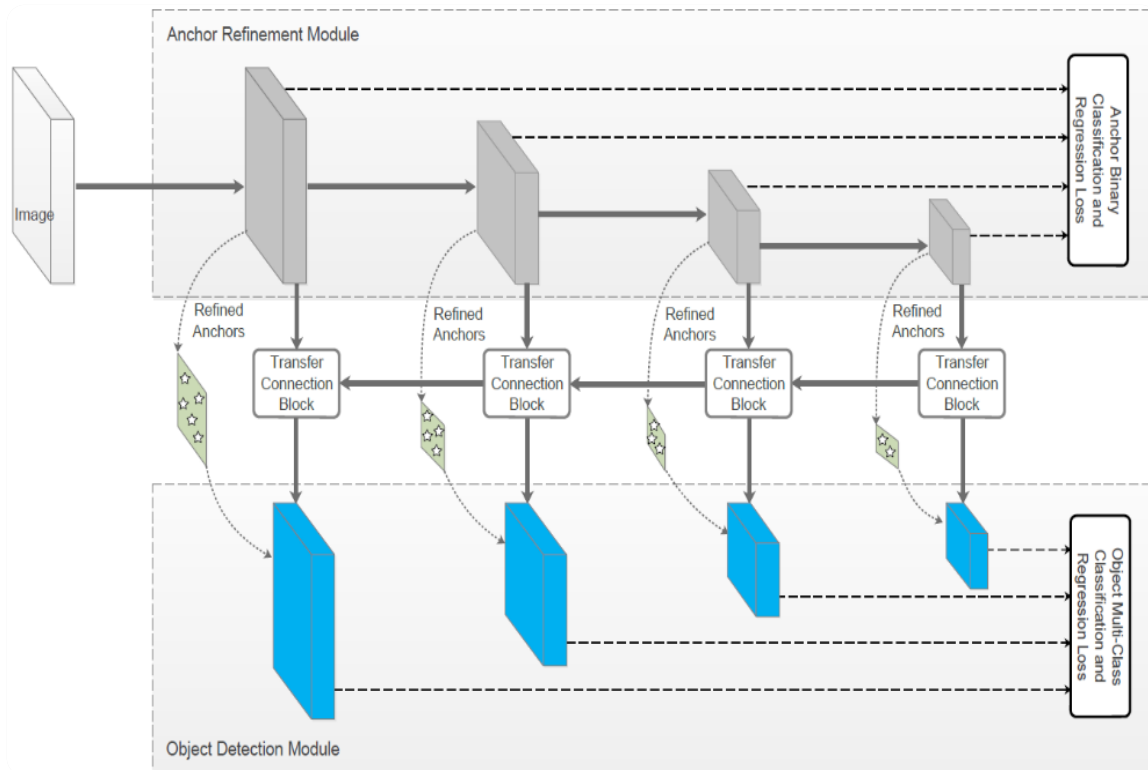
第一阶段特征
(基础网络)



第二阶段特征
(FPN强化)



实用物体检测算法RefineDet：二阶段特征



全卷积网络实现

少量额外计算



实用物体检测算法RefineDet：速度精度

System	VOC2007 test <i>mAP</i>	FPS (Titan X)	Number of Boxes	Input resolution
Faster R-CNN (VGG16)	73.2	7	~6000	~1000 x 600
YOLO (GoogleNe)	63.4	45	98	448 x 448
YOLOv2 (Darknet-19)	78.6	40	845	544 x 544
SSD300* (VGG16)	77.2	46	8732	300 x 300
SSD512* (VGG16)	79.8	19	24564	512 x 512
RefineDet320 (VGG16)	80.0	40	6375	320 x 320
RefineDet512 (VGG16)	81.8	24	16320	512 x 512

- 单阶段法的速度
- 多阶段法的精度



实用物体检测算法RefineDet：速度精度

System	VOC2007 test <i>mAP</i>	FPS (Titan X)	Number of Boxes	Input resolution
Faster R-CNN (VGG16)	73.2	7	~6000	~1000 x 600
YOLO (GoogleNe)	63.4	45	98	448 x 448
YOLOv2 (Darknet-19)	78.6	40	845	544 x 544
SSD300* (VGG16)	77.2	46	8732	300 x 300
SSD512* (VGG16)	79.8	19	24564	512 x 512
RefineDet320 (VGG16)	80.0	40	6375	320 x 320
RefineDet512 (VGG16)	81.8	24	16320	512 x 512

- 相对于baseline的SSD，不仅精度提高2个点，速度变快5 FPS
- 精度提高得益于二阶段分类、二阶段回归、二阶段特征
- 速度变快是因为①用了更少的检测层 (6->4)；②用了更少锚框(25K->16K)



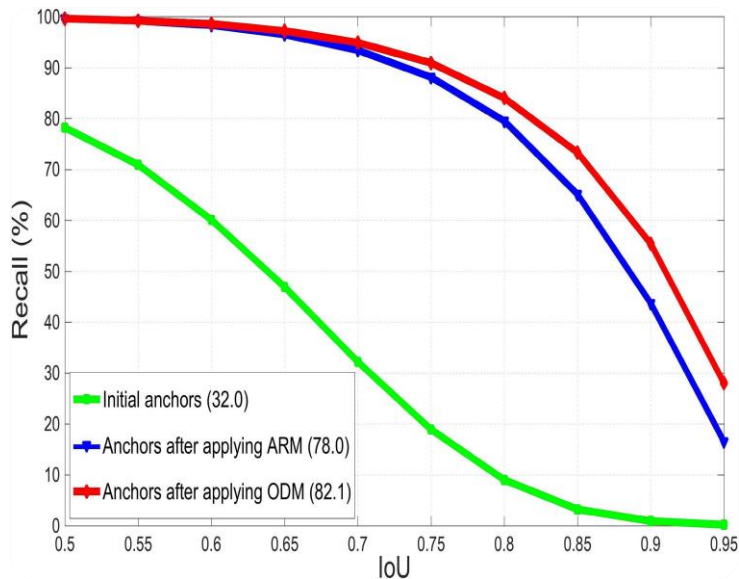
实用物体检测算法RefineDet: 有效性验证

Component	RefineDet320			
negative anchor filtering?	✓			
two-step cascaded regression?	✓	✓		
transfer connection block?	✓	✓	✓	
mAP (%)	80.0	79.5	77.3	76.2

■ 二阶段分类 **+0.5**

■ 二阶段回归 **+2.2**

■ 二阶段特征 **+1.1**





实用物体检测算法RefineDet: 代码开源

sfzhang15 / RefineDet

Watch 65

★ Unstar 1.4k

🔗 Fork 397

<> Code

🔔 Issues 1

🔗 Pull requests 0

🎮 Actions

📁 Projects 0

📖 Wiki

🛡 Security

📊 Insights

⚙ Settings

Single-Shot Refinement Neural Network for Object Detection, CVPR, 2018

Edit

object-detection Manage topics

🔗 119 commits

🌿 1 branch

📦 0 packages

🔖 0 releases

👤 3 contributors

📄 View license

Branch: master ▾

New pull request

Create new file

Upload files

Find file

Clone or download ▾



sfzhang15 Merge pull request #166 from lengly/patch-1 ...

Latest commit 52b6fe2 on 18 Mar 2019

📁 cmake

Adding the code of RefineDet

2 years ago

📁 data

Update README.md

2 years ago

📁 docker

fix dockerfile

15 months ago

📁 docs

Adding the code of RefineDet

2 years ago

<https://github.com/sfzhang15/RefineDet>



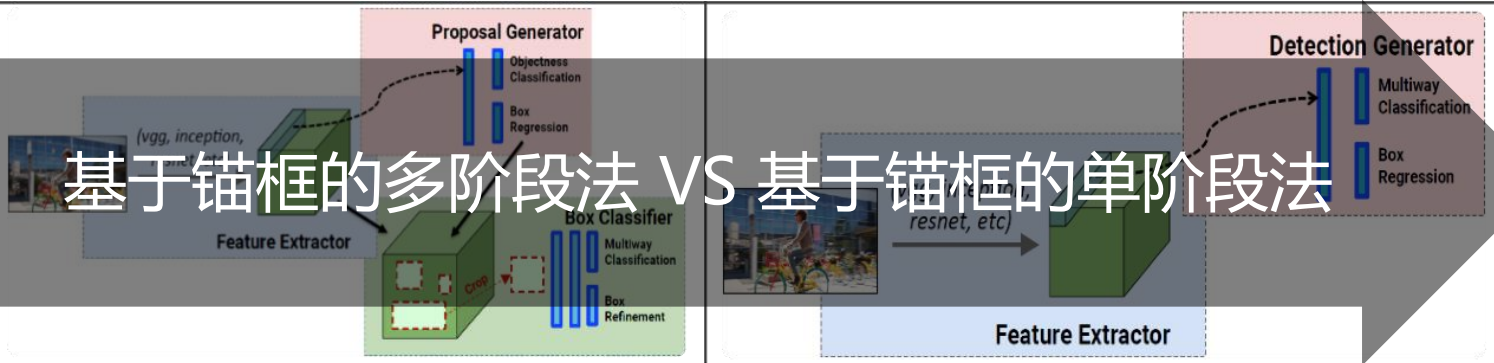
实用物体检测算法RefineDet

基于锚框

基于锚框的多阶段法 VS 基于锚框的单阶段法

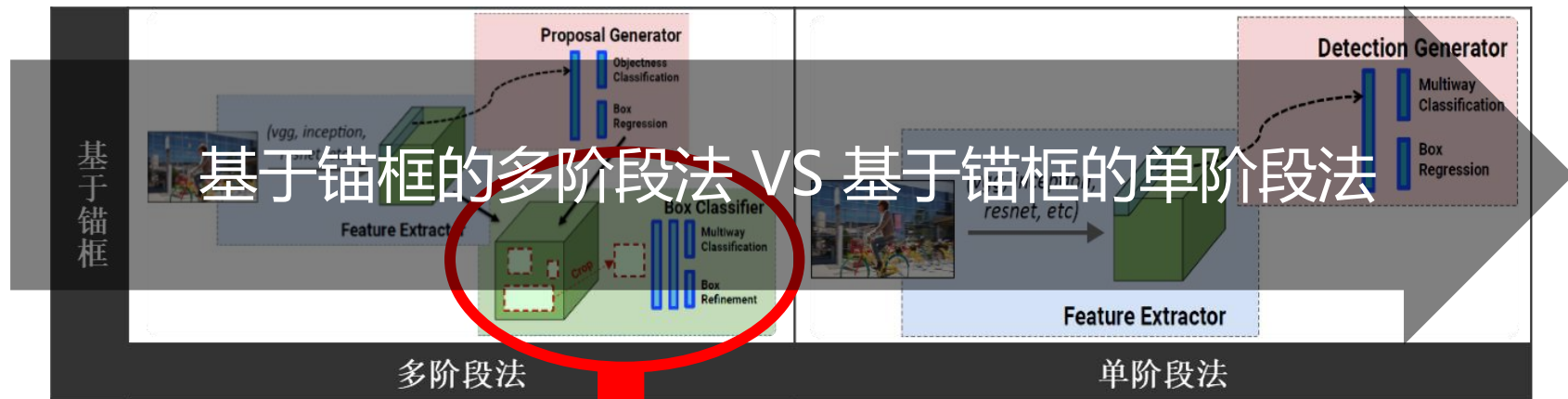
多阶段法

单阶段法





实用物体检测算法RefineDet



① 二阶段的分类

② 二阶段的回归

③ 二阶段的特征

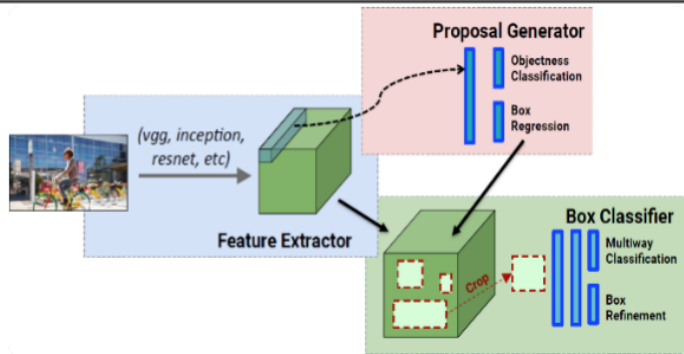
④ 特征的校准

实用物体检测算法
RefineDet



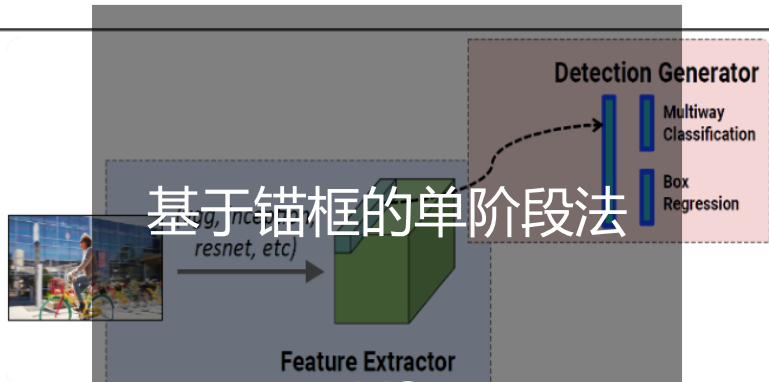
实用检测算法的研究思路：对比探索

基于锚框



多阶段法

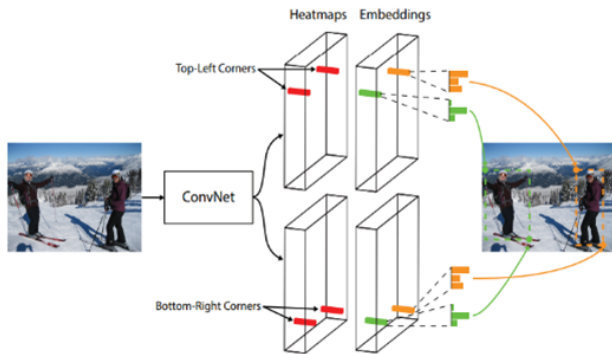
基于锚框的单阶段法



单阶段法

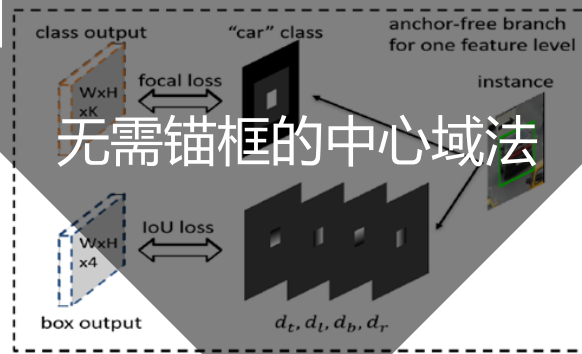
VS

无需锚框



关键点法

无需锚框的中心域法



中心域法



基于锚框的单阶段法 VS 无需锚框的中心域法

检测流程非常相似

基于锚框的单阶段法



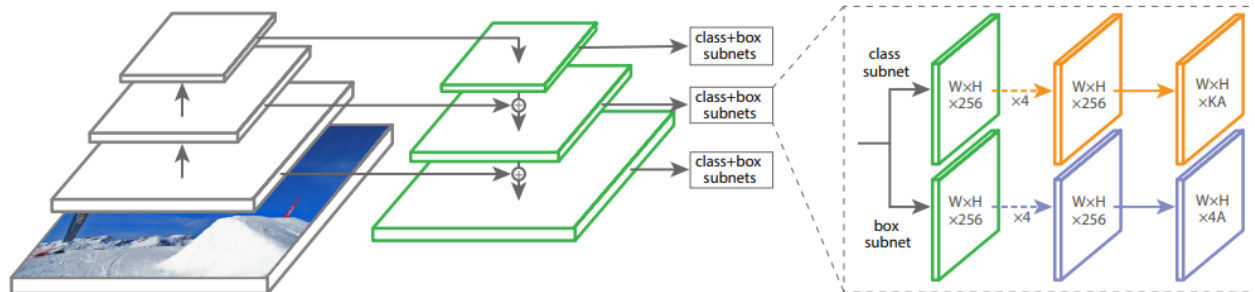
无需锚框的中心域法



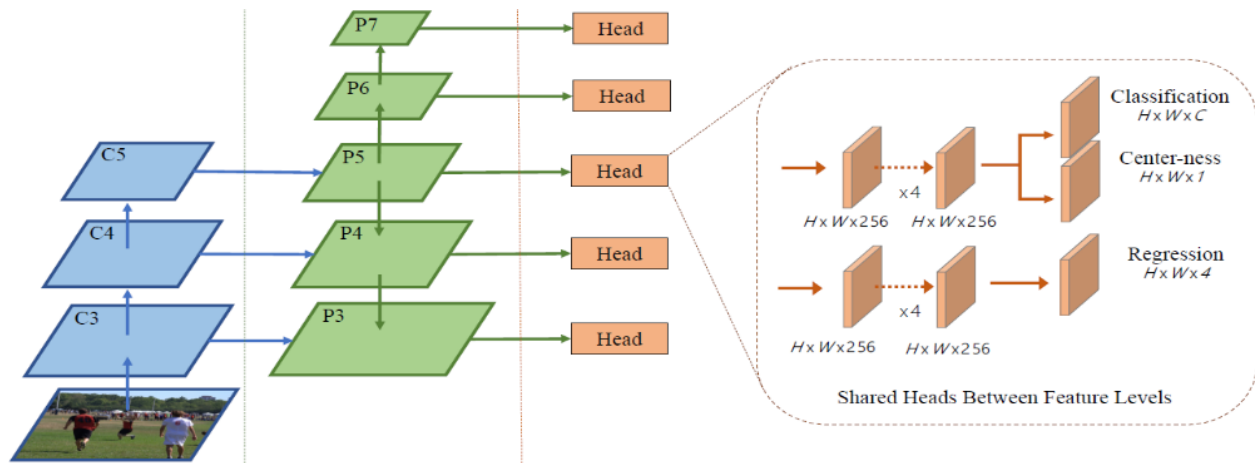


RetinaNet 与 FCOS 的相同点

基于锚框的单阶段方法
RetinaNet



无需锚框的中心域方法
FCOS



■ 相同的基础网络

■ 特征金字塔

■ 分类子网络

■ 回归子网络

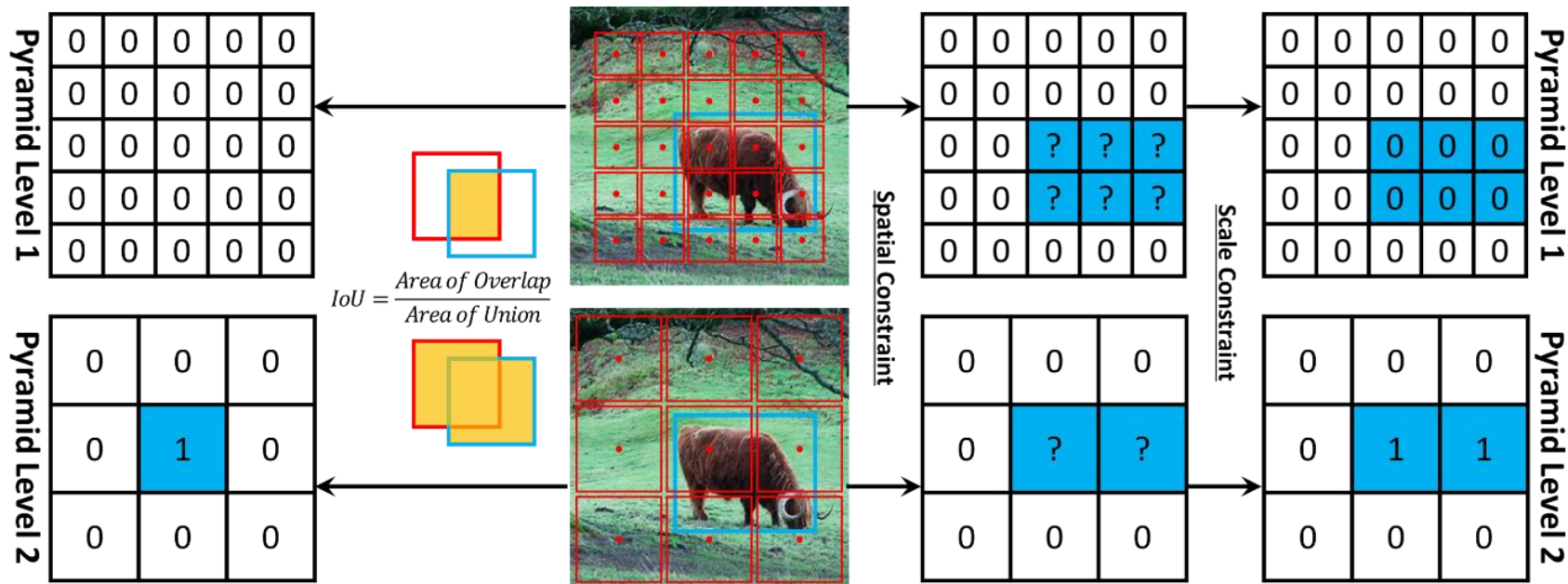


RetinaNet和FCOS的不同点



RetinaNet和FCOS的不同点：①正负样本定义

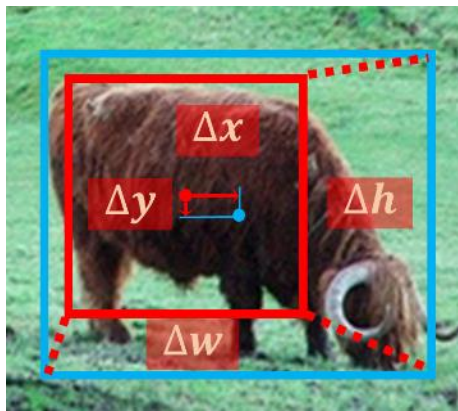
- RetinaNet: 利用IoU选取正负训练样本
- FCOS: 利用空间和尺度上的限制来选取正负训练样本



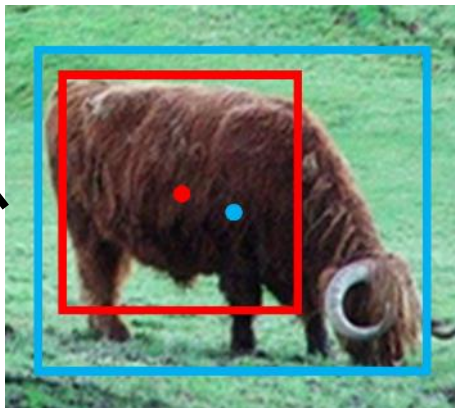


RetinaNet和FCOS的不同点：②回归起点

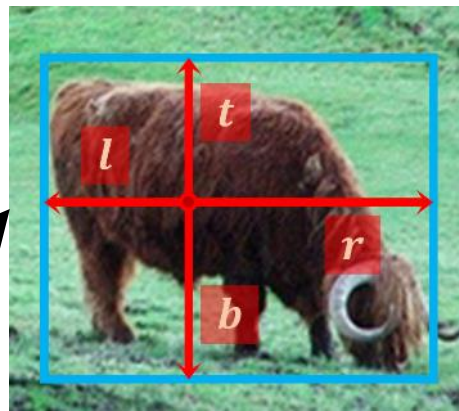
- RetinaNet: 从一个矩形框（锚框）开始回归物体
- FCOS: 从一个点（锚点）开始回归物体



从一个框



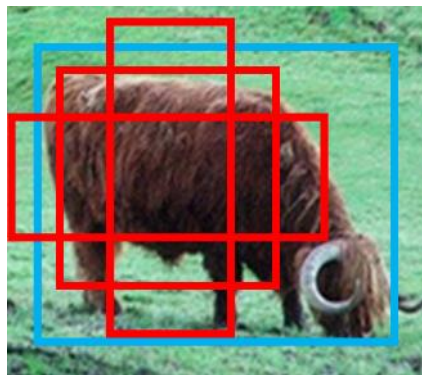
从一个点



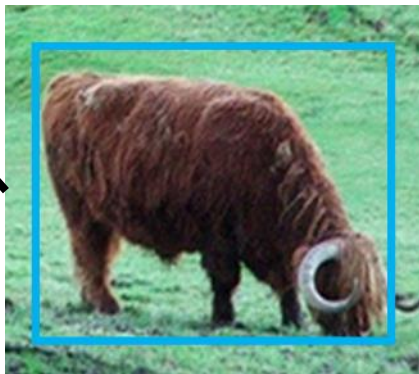


RetinaNet和FCOS的不同点：③每个位置铺设的样本个数

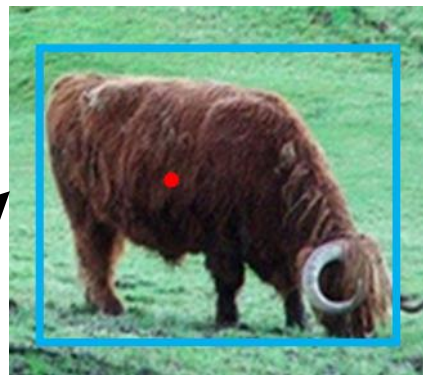
- RetinaNet: 在每个位置铺设了9个锚框 (3个比例和3个尺度)
- FCOS: 在每个位置只铺设了一个锚点



每个位置9个锚框



每个位置1个锚点





RetinaNet和FCOS的不同点

- ① 正负训练样本定义的不同
- ② 回归的起点不同
- ③ 每个位置铺设的样本个数不同

哪一个本质区别？

让FCOS在速度稍微变快的同时，精度得到提高

找到这个高效的本质区别，并加以改进提出ATSS



实用物体检测算法ATSS：排除实现不一致

- ① 正负训练样本定义的不同
- ② 回归的起点不同

Inconsistency	FCOS	RetinaNet (#A=1)					
GroupNorm	✓	✓	✓	✓	✓	✓	✓
GIoU Loss	✓		✓	✓	✓	✓	✓
In GT Box	✓			✓	✓	✓	✓
Centerness	✓				✓	✓	✓
Scalar	✓						✓
AP (%)	37.8	32.5	33.4	34.9	35.3	36.8	37.0



实用物体检测算法ATSS：排除实现不一致

- ① 正负训练样本定义的不同
- ② 回归的起点不同

Inconsistency	FCOS	RetinaNet (#A=1)					
GroupNorm	✓	✓	✓	✓	✓	✓	
GIoU Loss	✓		✓	✓	✓	✓	
In GT Box	✓			✓	✓	✓	
Centerness	✓				✓	✓	
Scalar	✓						✓
AP (%)	37.8	32.5	33.4	34.9	35.3	36.8	37.0



实用物体检测算法ATSS：排除实现不一致

- ① 正负训练样本定义的不同
- ② 回归的起点不同

Inconsistency	FCOS	RetinaNet (#A=1)					
GroupNorm	✓	✓	✓	✓	✓	✓	
GIoU Loss	✓		✓	✓	✓	✓	✓
In GT Box	✓			✓	✓	✓	✓
Centerness	✓				✓		✓
Scalar	✓						✓
AP (%)	37.8	32.5	33.4	34.9	35.3	36.8	37.0



实用物体检测算法ATSS：排除实现不一致

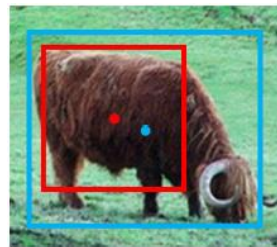
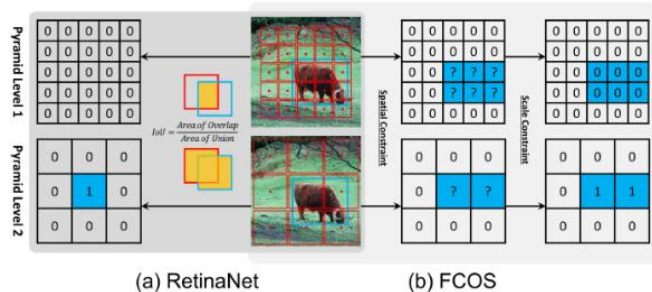
- ① 正负训练样本定义的不同
- ② 回归的起点不同

Inconsistency	FCOS	RetinaNet (#A=1)					
GroupNorm	✓	✓	✓	✓	✓	✓	
GIoU Loss	✓		✓	✓	✓	✓	✓
In GT Box	✓			✓	✓	✓	✓
Centerness	✓				✓	✓	✓
Scalar	✓						✓
AP (%)	37.8	32.5	33.4	34.9	35.3	36.8	37.0

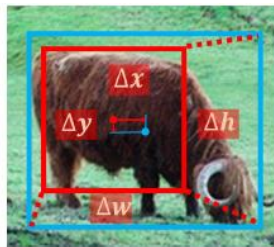


实用物体检测算法ATSS：探索本质区别

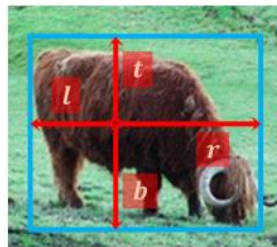
- ① 正负训练样本定义的不同
- ② 回归的起点不同



(a) Positive sample



(b) RetinaNet



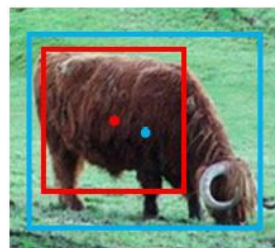
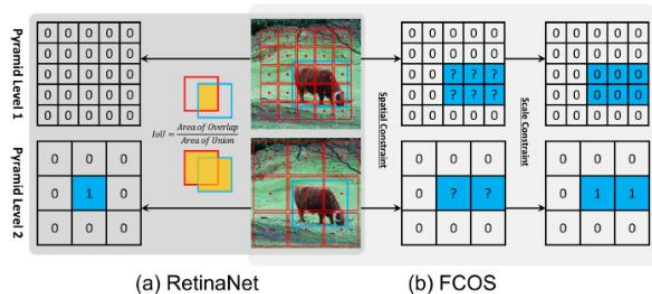
(c) FCOS

Classification \ Regression	Box	Point
	Intersection over Union	36.9
Spatial and Scale Constraint	37.8	37.8

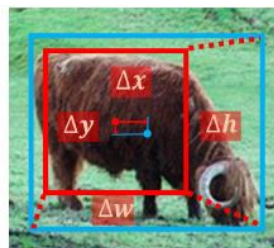


实用物体检测算法ATSS：探索本质区别

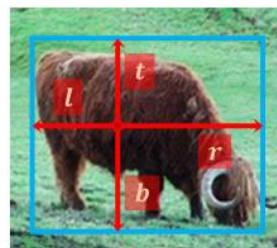
- ① 正负训练样本定义的不同
- ② 回归的起点不同



(a) Positive sample



(b) RetinaNet



(c) FCOS

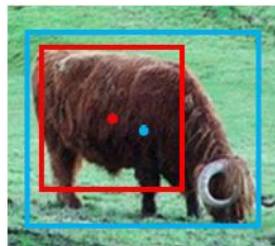
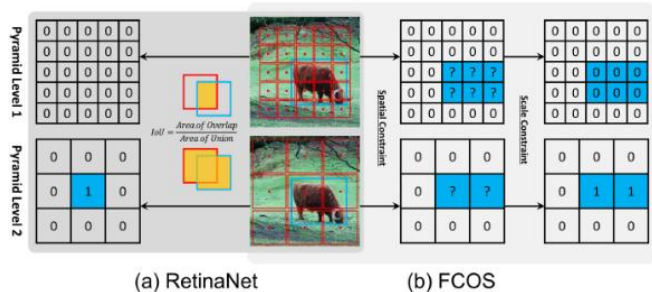
Classification \ Regression	Box	Point
	37.0 37.8	36.9 37.8



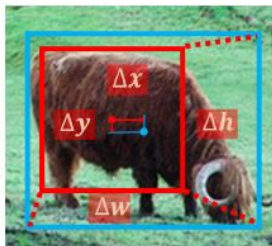
实用物体检测算法ATSS：探索本质区别

① 正负训练样本定义的不同

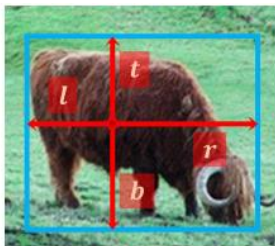
② 回归的起点不同



(a) Positive sample



(b) RetinaNet



(c) FCOS

Classification \ Regression	Box	Point
	Intersection over Union	36.9
Spatial and Scale Constraint	37.8	37.8



实用物体检测算法ATSS：自适应训练样本选取

① 正负训练样本定义的不同

② 回归的起点不同



实用物体检测算法ATSS：自适应训练样本选取

① 正负训练样本定义的不同

② 回归的起点不同

```
for each level  $i \in [1, \mathcal{L}]$  do  
     $\mathcal{S}_i \leftarrow$  select  $k$  anchors from  $A_i$  whose center are closest  
    to the center of ground-truth  $g$  based on L2 distance;  
     $\mathcal{C}_g = \mathcal{C}_g \cup \mathcal{S}_i$ ;  
end for
```

```
compute IoU between  $\mathcal{C}_g$  and  $g$ :  $\mathcal{D}_g = IoU(\mathcal{C}_g, g)$ ;  
compute mean of  $\mathcal{D}_g$ :  $m_g = Mean(\mathcal{D}_g)$ ;  
compute standard deviation of  $\mathcal{D}_g$ :  $v_g = Std(\mathcal{D}_g)$ ;  
compute IoU threshold for ground-truth  $g$ :  $t_g = m_g + v_g$ ;
```

- L 是检测层的个数
- A_i 是第 i 个检测层所关联的锚框
- g 是真实标注
- k 是超参数，默认值为9
- \mathcal{S}_i 是 g 在第 i 个检测层上选取的 k 个候选正样本
- \mathcal{C}_g 是 g 所有的候选正样本



实用物体检测算法ATSS：自适应训练样本选取

① 正负训练样本定义的不同

② 回归的起点不同

for each level $i \in [1, \mathcal{L}]$ **do**

$\mathcal{S}_i \leftarrow$ select k anchors from A_i whose center are closest
to the center of ground-truth g based on L2 distance;

$\mathcal{C}_g = \mathcal{C}_g \cup \mathcal{S}_i$;

end for

compute IoU between \mathcal{C}_g and g : $\mathcal{D}_g = IoU(\mathcal{C}_g, g)$;

compute mean of \mathcal{D}_g : $m_g = Mean(\mathcal{D}_g)$;

compute standard deviation of \mathcal{D}_g : $v_g = Std(\mathcal{D}_g)$;

compute IoU threshold for ground-truth g : $t_g = m_g + v_g$;

■ \mathcal{D}_g 是所有候选正样本 \mathcal{C}_g 跟 g 的IoU



实用物体检测算法ATSS：自适应训练样本选取

① 正负训练样本定义的不同

② 回归的起点不同

for each level $i \in [1, \mathcal{L}]$ **do**

$\mathcal{S}_i \leftarrow$ select k anchors from A_i whose center are closest
to the center of ground-truth g based on L2 distance;

$\mathcal{C}_g = \mathcal{C}_g \cup \mathcal{S}_i$;

end for

compute IoU between \mathcal{C}_g and g : $\mathcal{D}_g = \text{IoU}(\mathcal{C}_g, g)$;

compute mean of \mathcal{D}_g : $m_g = \text{Mean}(\mathcal{D}_g)$;

compute standard deviation of \mathcal{D}_g : $v_g = \text{Std}(\mathcal{D}_g)$;

compute IoU threshold for ground-truth g : $t_g = m_g + v_g$;

- m_g 是 g 跟所有候选正样本 \mathcal{C}_g 的IoU的均值
- v_g 是 g 跟所有候选正样本 \mathcal{C}_g 的IoU的标准差



实用物体检测算法ATSS：自适应训练样本选取

每个物体都有一个自适应阈值

① 正负训练样本定义的不同

② 回归的起点不同

for each level $i \in [1, \mathcal{L}]$ **do**

$\mathcal{S}_i \leftarrow$ select k anchors from A_i whose center are closest
to the center of ground-truth g based on L2 distance;

$\mathcal{C}_g = \mathcal{C}_g \cup \mathcal{S}_i$;

end for

compute IoU between \mathcal{C}_g and g : $\mathcal{D}_g = IoU(\mathcal{C}_g, g)$;

compute mean of \mathcal{D}_g : $m_g = Mean(\mathcal{D}_g)$;

compute standard deviation of \mathcal{D}_g : $v_g = Std(\mathcal{D}_g)$;

compute IoU threshold for ground-truth g : $t_g = m_g + v_g$;

■ t_g 是 g 从所有候选正样本 \mathcal{C}_g 中选取最终正样本的阈值

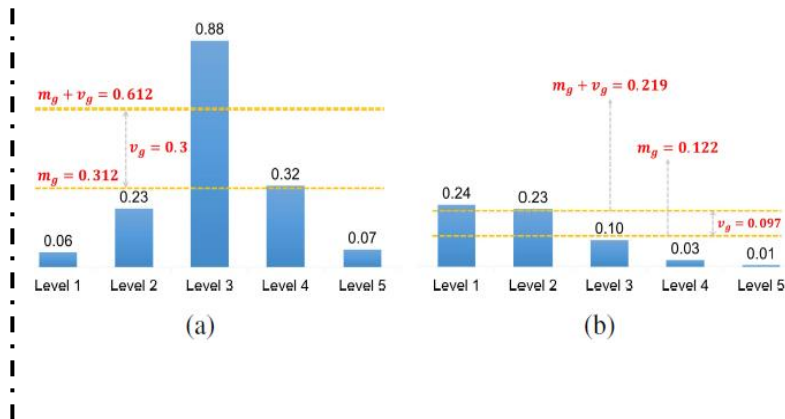


实用物体检测算法ATSS：自适应训练样本选取

① 正负训练样本定义的不同

② 回归的起点不同

```
for each level  $i \in [1, \mathcal{L}]$  do
     $\mathcal{S}_i \leftarrow$  select  $k$  anchors from  $A_i$  whose center are closest
    to the center of ground-truth  $g$  based on L2 distance;
     $\mathcal{C}_g = \mathcal{C}_g \cup \mathcal{S}_i$ ;
end for
compute IoU between  $\mathcal{C}_g$  and  $g$ :  $\mathcal{D}_g = IoU(\mathcal{C}_g, g)$ ;
compute mean of  $\mathcal{D}_g$ :  $m_g = Mean(\mathcal{D}_g)$ ;
compute standard deviation of  $\mathcal{D}_g$ :  $v_g = Std(\mathcal{D}_g)$ ;
compute IoU threshold for ground-truth  $g$ :  $t_g = m_g + v_g$ ;
```





实用物体检测算法ATSS：自适应训练样本选取

① 正负训练样本定义的不同

② 回归的起点不同

for each level $i \in [1, \mathcal{L}]$ do

$\mathcal{S}_i \leftarrow$ select k anchors from A_i whose center are closest to the center of ground-truth g based on L2 distance;

$\mathcal{C}_g = \mathcal{C}_g \cup \mathcal{S}_i$;

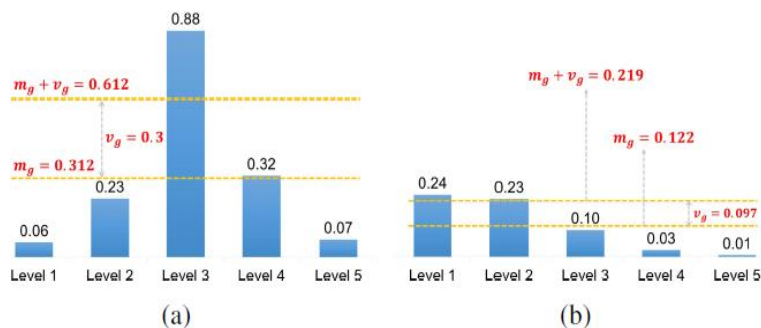
end for

compute IoU between \mathcal{C}_g and g : $\mathcal{D}_g = IoU(\mathcal{C}_g, g)$;

compute mean of \mathcal{D}_g : $m_g = Mean(\mathcal{D}_g)$;

compute standard deviation of \mathcal{D}_g : $v_g = Std(\mathcal{D}_g)$;

compute IoU threshold for ground-truth g : $t_g = m_g + v_g$;



Method	AP	AP ₅₀	AP ₇₅	AP _S	AP _M	AP _L
RetinaNet (#A=1)	37.0	55.1	39.9	21.4	41.2	48.6
RetinaNet (#A=1) + ATSS	39.3	57.5	42.8	24.3	43.3	51.3
FCOS	37.8	55.6	40.7	22.1	41.8	48.8
FCOS + Center sampling	38.6	57.4	41.4	22.3	42.5	49.8
FCOS + ATSS	39.2	57.3	42.4	22.7	43.1	51.5

ResNet-101	43.6	62.1	47.4	26.1	47.0	53.6
ResNeXt-32x8d-101	45.1	63.9	49.1	27.9	48.2	54.6
ResNeXt-64x4d-101	45.6	64.6	49.7	28.5	48.9	55.6
ResNet-101-DCN	46.3	64.7	50.4	27.7	49.8	58.4
ResNeXt-32x8d-101-DCN	47.7	66.6	52.1	29.3	50.8	59.7
ResNeXt-64x4d-101-DCN	47.7	66.5	51.9	29.7	50.8	59.4
ResNeXt-32x8d-101-DCN	50.6	68.6	56.1	33.6	52.9	62.2
ResNeXt-64x4d-101-DCN	50.7	68.9	56.3	33.2	52.9	62.4



实用物体检测算法ATSS：超参数分析

k	3	5	7	9	11	13	15	17	19
AP (%)	38.0	38.8	39.1	39.3	39.1	39.0	39.1	39.2	38.9

■ 超参k很鲁棒



实用物体检测算法ATSS：超参数分析

k	3	5	7	9	11	13	15	17	19
AP (%)	38.0	38.8	39.1	39.3	39.1	39.0	39.1	39.2	38.9

Scale	AP	AP ₅₀	AP ₇₅	AP _S	AP _M	AP _L
5	39.0	57.9	41.9	23.2	42.8	50.5
6	39.2	57.6	42.5	23.5	42.8	51.1
7	39.3	57.6	42.4	22.9	43.2	51.3
8	39.3	57.5	42.8	24.3	43.3	51.3
9	38.9	56.5	42.0	22.9	42.4	50.3

Aspect Ratio	AP	AP ₅₀	AP ₇₅	AP _S	AP _M	AP _L
4:1	39.1	57.2	42.3	23.1	43.1	51.4
2:1	39.0	56.9	42.5	23.3	43.5	50.6
1:1	39.3	57.5	42.8	24.3	43.3	51.3
2:1	39.3	57.4	42.3	22.8	43.4	51.0
4:1	39.1	56.9	42.6	22.9	42.9	50.7

■ 超参k很鲁棒

■ ATSS只在每个位置
铺设一个锚框

■ ATSS使用不同尺度
和比例的锚框，精度
变化不大

■ ATSS对不同尺度和
比例的锚框非常鲁棒



实用物体检测算法ATSS：最后一个不同点

- ① 正负训练样本定义的不同
- ② 回归的起点不同
- ③ 每个位置铺设的样本个数不同？

Inconsistency	FCOS	RetinaNet (#A=1)					
GroupNorm	✓	✓	✓	✓	✓	✓	✓
GIoU Loss	✓		✓	✓	✓	✓	✓
In GT Box	✓			✓	✓	✓	✓
Centerness	✓				✓	✓	✓
Scalar	✓					✓	✓
AP (%)	37.8	32.5	33.4	34.9	35.3	36.8	37.0

Method	#sc	#ar	AP	AP ₅₀	AP ₇₅
RetinaNet (#A=9)	3	3	36.3	55.2	38.8
+Imprs.	3	3	38.4	56.2	41.6
+Imprs.+ATSS	3	3	39.2	57.6	42.7
+Imprs.+ATSS	3	1	39.3	57.7	42.6
+Imprs.+ATSS	1	3	39.2	57.1	42.5
+Imprs.+ATSS	1	1	39.3	57.5	42.8

- 在基于IoU选取正负样本的情况下，每个位置铺设更多的锚框可以提升精度



实用物体检测算法ATSS：最后一个不同点

- ① 正负训练样本定义的不同
- ② 回归的起点不同
- ③ 每个位置铺设的样本个数不同？

Inconsistency	FCOS	RetinaNet (#A=1)					
GroupNorm	✓	✓	✓	✓	✓	✓	✓
GIoU Loss	✓		✓	✓	✓	✓	✓
In GT Box	✓			✓	✓	✓	✓
Centerness	✓				✓	✓	✓
Scalar	✓						✓
AP (%)	37.8	32.5	33.4	34.9	35.3	36.8	37.0

Method	#sc	#ar	AP	AP ₅₀	AP ₇₅
RetinaNet (#A=9)	3	3	36.3	55.2	38.8
+Imprs.	3	3	38.4	56.2	41.6
+Imprs.+ATSS	3	3	39.2	57.6	42.7
+Imprs.+ATSS	3	1	39.3	57.7	42.6
+Imprs.+ATSS	1	3	39.2	57.1	42.5
+Imprs.+ATSS	1	1	39.3	57.5	42.8

- 在基于IoU选取正负样本的情况下，每个位置铺设更多的锚框可以提升精度
- 在所提出的ATSS算法下，每个位置铺设更多的锚框没有带来性能的提升



实用物体检测算法ATSS：最后一个不同点

- ① 正负训练样本定义的不同
- ② 回归的起点不同
- ③ 每个位置铺设的样本个数不同？

Inconsistency	FCOS	RetinaNet (#A=1)					
GroupNorm	✓	✓	✓	✓	✓	✓	✓
GIoU Loss	✓		✓	✓	✓	✓	✓
In GT Box	✓			✓	✓	✓	✓
Centerness	✓				✓	✓	✓
Scalar	✓						✓
AP (%)	37.8	32.5	33.4	34.9	35.3	36.8	37.0

Method	#sc	#ar	AP	AP ₅₀	AP ₇₅
RetinaNet (#A=9)	3	3	36.3	55.2	38.8
+Imprs.	3	3	38.4	56.2	41.6
+Imprs.+ATSS	3	3	39.2	57.6	42.7
+Imprs.+ATSS	3	1	39.3	57.7	42.6
+Imprs.+ATSS	1	3	39.2	57.1	42.5
+Imprs.+ATSS	1	1	39.3	57.5	42.8

- 在选取正负样本的情况下，每个位置铺设更多的锚框可以提升精度
- 在所提出的ATSS算法下，每个位置铺设更多的锚框没有带来性能的提升
- 因此，只要合理地选取训练正负样本，每个位置铺设多少个锚框，最终结果都相似
- 结论：如果发挥多层锚框的作用，还需要进一步探索



实用物体检测算法ATSS：代码开源

sfzhang15 / ATSS

Watch

22

Star

646

Fork

94

Code

Issues 6

Pull requests 0

Actions

Projects 0

Wiki

Security

Insights

Settings

Bridging the Gap Between Anchor-based and Anchor-free Detection via Adaptive Training Sample Selection, CVPR, Oral, 2020

Edit

Manage topics

14 commits

1 branch

0 packages

0 releases

1 contributor

View license

Branch: master

New pull request

Create new file

Upload files

Find file

Clone or download



sfzhang15 Update README.md

Latest commit 3a6f8d8 17 days ago

atss_core

Update loss.py

2 months ago

configs

Initial commit

4 months ago

demo

Initial commit

4 months ago

docker

Initial commit

4 months ago

<https://github.com/sfzhang15/ATSS>

Paper award nominees

Weakly-supervised Domain Adaptation via GAN and Mesh Model for Estimating 3D Hand Poses Interacting Objects

Seungryul Baek; Kwang In Kim; Tae-Kyun Kim

Unsupervised Learning of Probably Symmetric Deformable 3D Objects from Images in the Wild

Shangzhe Wu; Christian Rupprecht; Andrea Vedaldi

Bridging the Gap Between Anchor-based and Anchor-free Detection via Adaptive Training Sample Selection

Shifeng Zhang; Cheng Chi; Yongqiang Yao; Zhen Lei; Stan Li

Momentum Contrast for Unsupervised Visual Representation Learning

Kaiming He; Haoqi Fan; Yuxin Wu; Saining Xie; Ross Girshick

BSP-Net: Generating Compact Meshes via Binary Space Partitioning

Zhiqin Chen; Andrea Tagliasacchi; Hao Zhang

Disentangled image generation through structured noise injection

Yazeed Alharbi; Peter Wonka

UC-Net: Uncertainty Inspired RGB-D Saliency Detection via Conditional Variational Autoencoders

Jing Zhang; Deng-Ping Fan; Yuchao Dai; Saeed Anwar; Fatemeh Sadat Saleh; Tong Zhang; Nick Barnes

TextureFusion: High-Quality Texture Acquisition for Real-Time RGB-D Scanning

Joo Ho Lee; Hyunho Ha; Yue Dong; Xin Tong; Min H. Kim

Controllable Orthogonalization in Training DNNs

Lei Huang; Li Liu; Fan Zhu; Diwen Wan; Zehuan Yuan; Bo Li; Ling Shao

DeepCap: Monocular Human Performance Capture Using Weak Supervision

Marc Habermann; Weipeng Xu; Michael Zollhöfer; Gerard Pons-Moll; Christian Theobalt

Total3DUnderstanding: Joint Layout, Object Pose and Mesh Reconstruction for Indoor Scenes from a Single Image

Yinyu Nie; Xiaoguang Han; Shihui Guo; Yujian Zheng; Jian Chang; Jian.J Zhang

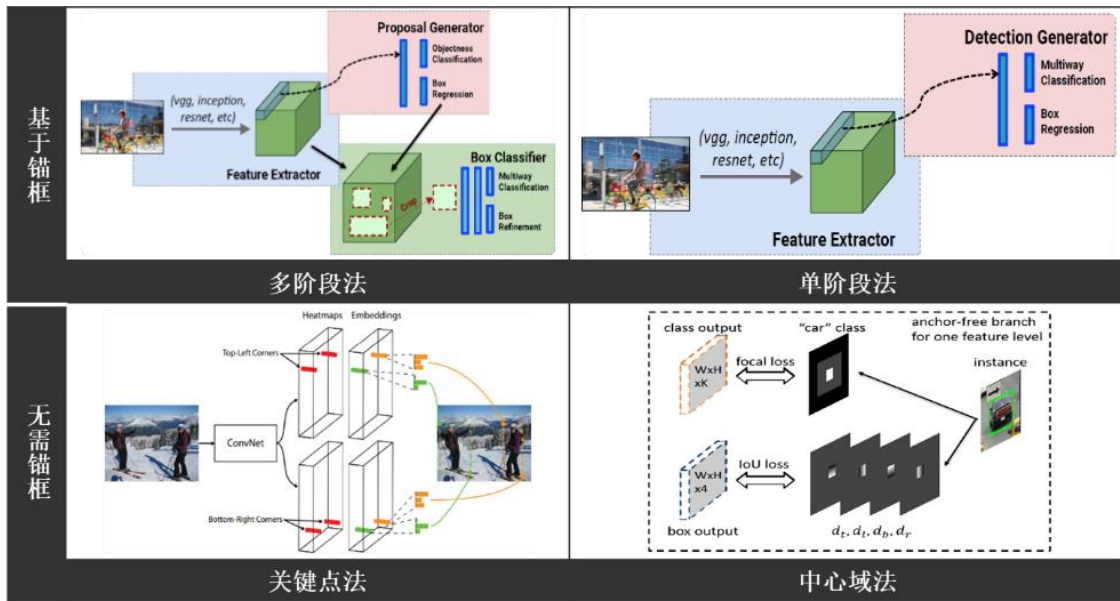
Transferring Cross-domain Knowledge for Video Sign Language Recognition

Dongxu Li; Xin Yu; Chenchen Xu; Lars Petersson; Hongdong Li



实用检测算法的研究思路：对比探索

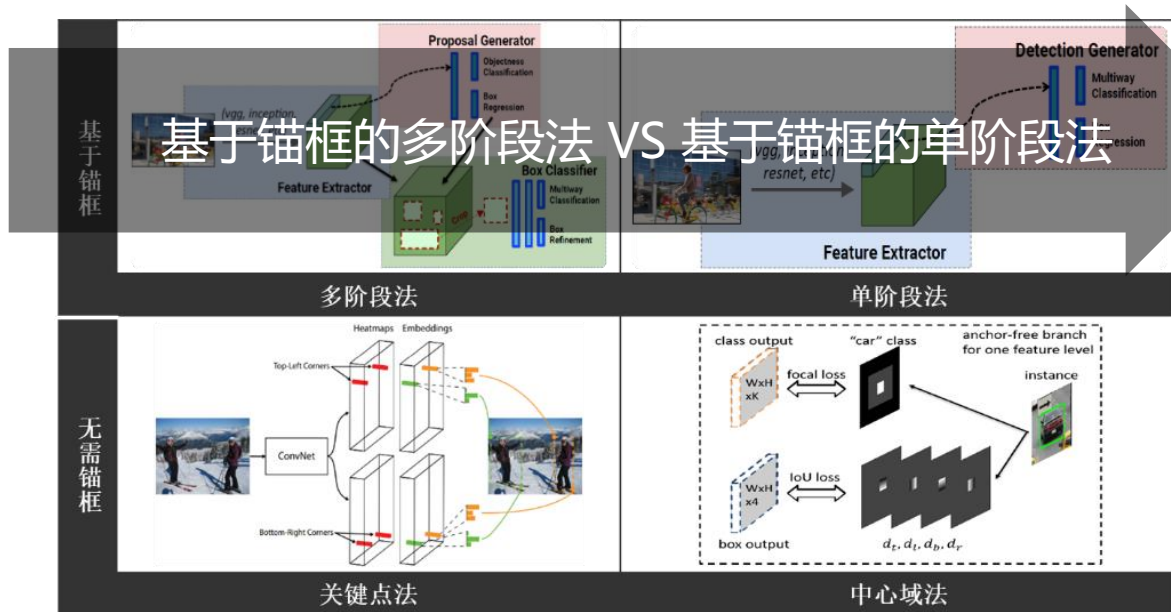
- 对比不同类型的检测算法，探索两者之间的本质区别
- 取之长补己短的改进思路，提出面向实用的全新算法





实用检测算法的研究思路：对比探索

- 对比不同类型的检测算法，探索两者之间的本质区别
- 取之长补己短的改进思路，提出面向实用的全新算法



① 二阶段的分类

② 二阶段的回归

③ 二阶段的特征

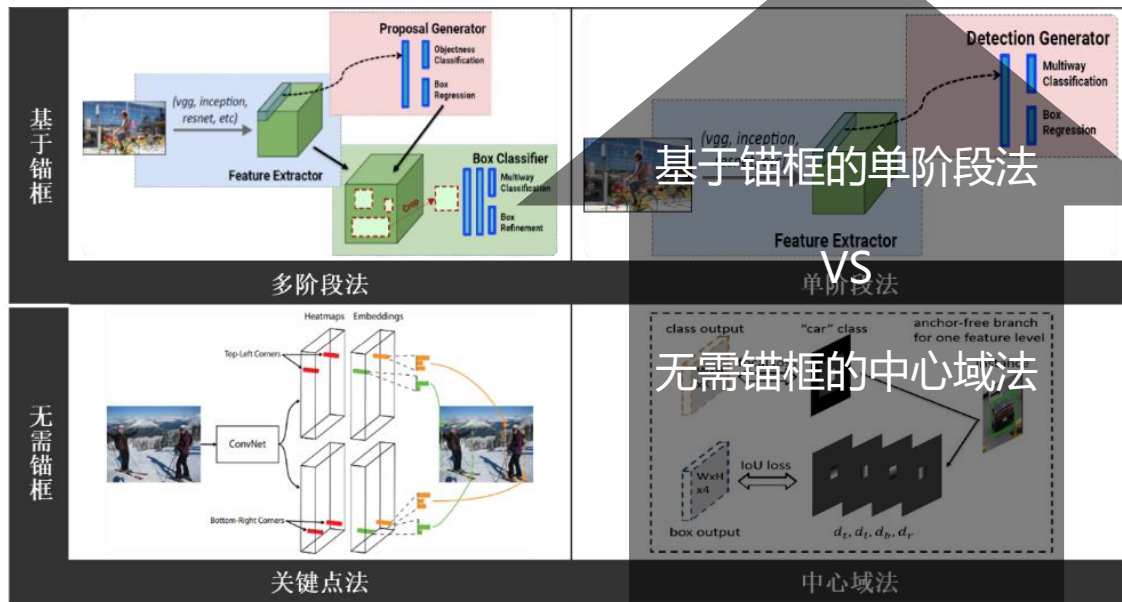
④ 特征校准

RefineDet算法



实用检测算法的研究思路：对比探索

- 对比不同类型的检测算法，探索两者之间的本质区别
- 取之长补己短的改进思路，提出面向实用的全新算法



① 正负样本定义

② 回归起始状态

③ 每个位置样本数量

ATSS算法



课程作业

■ 单步调试ATSS代码，总结RetinaNet和FCOS的区别

1. 代码链接 (<https://github.com/sfzhang15/ATSS>)
2. 按照安装教程，利用Anaconda配置ATSS的环境
3. 利用PyCharm单步调试ATSS的代码
4. 总结RetinaNet和FCOS的区别，熟悉ATSS的改进



结语

感谢聆听！

Thanks for Listening

